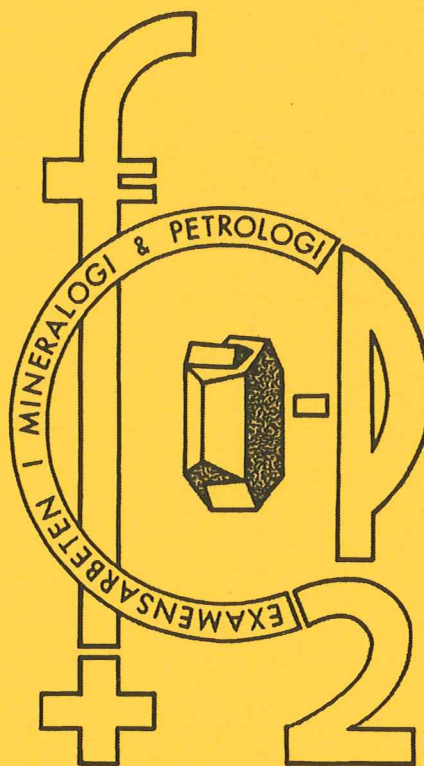


EXAMENSARBETE I GEOLOGI VID LUNDS UNIVERSITET

LUNDS UNIVERSITET
GEOBIBLIOTEKET
PERIODICA

Berggrundsgeologi

2002 -04- 19



**Seveskollorna i nordöstra Kebnekaise, Kaledoniderna:
metabasiter, graniter och ögongnejser**

Anders Lundgren

Lunds univ. Geobiblioteket



15000

600952974

**Examensarbete, 20 p
Institutionen, Lunds Universitet**

Nr 152

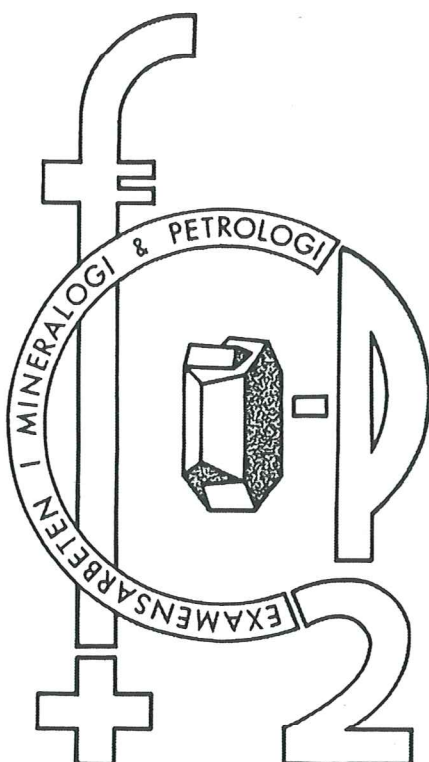
PER:6-1051

EXAMENSARBETE I GEOLOGI VID LUNDS UNIVERSITET

LUNDS UNIVERSITET
GEOBIBLIOTEKET
PERIODICA

2002-04-19

Berggrundsgeologi



**Seveskollorna i nordöstra Kebnekaise, Kaledoniderna:
metabasiter, graniter och ögongnejser**

Anders Lundgren

Lund 2002

Examensarbete, 20 p
Geologiska Institutionen, Lunds Universitet

Nr 152

INNEHÅLL

| | |
|---|----|
| Sammanfattning på svenska | 2 |
| Sammanfattning på engelska | 3 |
| 1. Problemställning..... | 4 |
| 2. De Skandinaviska Kaledoniderna..... | 5 |
| 2.1 Plattektoniskt ursprung | 5 |
| 2.2 Tektonisk uppbyggnad i stort | 5 |
| 2.2.1 Lägre Autokton..... | 5 |
| 2.2.2 Mellersta Allokton..... | 6 |
| 2.3.3 Övre Allokton..... | 6 |
| 2.2.4 Översta Allokton..... | 6 |
| 2.2.5 Seve skollkomplex..... | 6 |
| 3. Undersökta områden..... | 6 |
| 4. Tidigare arbeten..... | 6 |
| 5. Metodik | 7 |
| 6. Bergartsbeskrivning..... | 7 |
| 6.1 Boginjiramylnit..... | 7 |
| 6.2 Storglaciärengnejs | 8 |
| 6.3 Nallognejs..... | 9 |
| 6.3.1 Klassificering..... | 9 |
| Tabell 2; Huvudelement, vissa spårelement..... | 11 |
| Tabell 3; Spårelement..... | 12 |
| 6.3.2 REE-mönster | 10 |
| 6.4 Kebne Gångkomplex | 13 |
| 6.5 Kölberggrund..... | 14 |
| 7. Strukturer..... | 15 |
| 8. Kommentarer till de geologiska kartorna | 16 |
| 8.1 Nalloområdet | 16 |
| 8.2 Mårmaområdet | 16 |
| 9 Ögonmyloniterna | 16 |
| 9.1 Boginjiramylnitens megakrister | 16 |
| 9.2 Storglaciärengnejsens ögon | 17 |
| 10. Diskussion | 17 |
| 10.1 Tektonostratigrafisk korrelation med angränsande områden | 17 |
| 10.1.1 Tarfala, Singis och Laddjuvaggi | 17 |
| 10.1.2 Mårma-Vistas | 18 |
| 10.1.3 Torneträsk..... | 18 |
| 10.1.4 Indre Troms | 18 |
| 10.2 Boginjiramylnitens protolit..... | 19 |
| 10.3 Tektonisk utvecklingsmodell | 19 |
| 11. Slutsatser | 20 |
| 12. Tackord | 20 |
| 13. Referenser..... | 21 |
| Berggrundsggeologisk karta över Nalloområdet | 23 |
| Berggrundsggeologisk karta över Mårmaområdet..... | 24 |
| Plansch 1 | 25 |
| Plansch 2 | 26 |
| Tektonostratigrafisk tabell..... | 27 |

Sevens skollkomplex i nordöstra Kebnekaise, svenska Kaledoniderna: metabasiter, graniter och ögongnejser

ANDERS LUNDGREN

Lundgren, A., 2002: Seveskollorna i nordöstra Kebnekaise, svenska Kaledoniderna: metabasiter, graniter och ögongnejser. Examensarbete i geologi vid Lunds Universitet, 20 p. Nr 152, s. 1-27.

Seveberggrunden i nordöstra Kebnekaise domineras av amfiboliter och ögongnejser. Detta examensarbete beskriver tektonostratigrafen i två nyckelområden (Nallo och norra Mårma).

Seven i nordöstra Kebnekaise korreleras med den övre Seven söderut i Kebnekaise samt norrut mot Abisko och Indre Troms. I specialstudier identifieras moderbergarterna för en nyupptäckt gnejs samt för två typer av ögongnejser.

Metabasiterna i Kebne Gångkomplex består av en grövre amfibolit, som klippes av mörka band av en finkornig amfibolit. Komplexet tolkas som diabasgångar som intruderade en gabbro under bildandet av ny havsbotten. I anslutning till Kebne Gångkomplex förekommer en karakteristisk homogen gnejs (Nallognejsen). Geokemiska och petrografiska studier visar att Nallognejsen är en granit (granodiorit-tonalit), som sannolikt intruderade i öbågemiljö och som sedan deformerades under skolltransporten.

Två typer av ögonförande myloniter förekommer, Boginjiramyloniten och Storglaciärengnejsen, med olika bildningsmekanismer för megakristerna. Boginjiramyloniten utgör en mylonitiserasad form av Vistasgraniten och ögonen i myloniten är porfyroklastar bildade från fältspatfenokristaler, vilka har överlevt deformationen bättre än övriga mineral. Kring ögonen förekommer albitmantlar, vilka har bildats under mylonitiseringen. Ögonen består av karlsbadtvillingar, vilka även de i stor utsträckning har bildats under deformationen. Storglaciärengnejsens protolit är en myloniterad psammitisk gnejs (Höktoppsmylonit). Megakristerna i är bildade under prograd metamorfos. En studie av övergångzonen mellan ögonlös respektive migmatiserad Höktoppsmylonit visar, att bergarten har utbildats i två stadier. Vid det första stadiet har en psammitisk sedimentbergart mylonitiseras. Fältspatsögon bildades, vilket bl a indikeras av att myrmekit har vuxit längs ögonens tryckutsatta långsidor. Myloniten har därefter utsatts för hög temperatur varvid delar av den har migmatiserats medan andra delar har omkristalliserat till en homogen gnejs med deformationsfri textur och utan ögon.

Metabasites, granites and augen gneisses within the Seve Nappe Complex, NE Kebnekaise Mts., Swedish Caledonides

ANDERS LUNDGREN

Lundgren, A., 2002: Metabasites, granites and augen gneisses within the Seve Nappe Complex, NE Kebnekaise Mts., Swedish Caledonides. M. Sc. Thesis in geology at Lund University. 20 points. Nr 152, s. 1-27.

The Seve Nappe Complex in the Kebnekaise Mts. is dominated by metabasites (Kebne Dyke Complex) and mylonitic gneisses. This study describes the tectonostratigraphy in two key areas (Nallo and Mårma) and investigates the origin of a granitic gneiss and two varieties of augen gneiss.

The Kebne Dyke Complex consists of thin dark bands of amphibolite in a metagabbro, interpreted to represent dolerite dykes, which intruded gabbro during sea floor spreading. An often strongly foliated granitic gneiss (Nallo Gneiss) occurs intercalated with the dyke complex. In major element classification diagrams (R1-R2), samples of the Nallo gneiss fall within the fields of monzogranite, granodiorite and tonalite. Trace element compositions indicate an origin as volcanic arc granite.

Two types of augen gneiss occur, the Boginjira mylonite and the Storglaciären Gneiss. The mechanism of augen formation differs between the two types. The Boginjira Mylonite is a mylonitized variety of a granite (Vistas Granite) and megacrysts derive from feldspar phenocrysts. The augens have mantles of albite which formed during the process of mylonitization. Almost all augens are Karlsbad twins, most of which also formed during deformation. The protolith of the Storglaciären Gneiss is a mylonitic psammitic gneiss (Höktoppen Mylonite). Study of thin sections across the transition zone between migmatitic gneiss and fine-grained gneiss without augen suggests two stages of recrystallization. During the first stage, an augen gneiss formed from psammitic gneiss during prograde metamorphism, indicated by myrmekite growth along augens. With increasing temperature, parts of the augen gneiss were migmatized, other parts recrystallized to a homogeneous, strain-free gneiss without augens.

The Seve units of the Nallo and Mårma areas can be correlated with upper Seve units occurring to the south in the central Kebnekaise Mts. and to the north in the Abisko and Indre Troms Mts.

1. PROBLEMSTÄLLNING

1964 publicerade Oskar Kulling en karta över Norrbottens Kaledonider, där berggrunden i nordöstra Kebnekaise beskrivs som ”foga undersökt” och domineras av ”östra amfibolitern”. Denna mindre precisa beskrivning berodde delvis på områdets otillgänglighet och mycket stora topografiska skillnader. Kebnekaiseområdet har senare visat sig vara ett nyckelområde för förståelsen av de tektono-stratigrafiska relationerna mellan fjällkedjans norra och södra delar.

Områdets geologi domineras av mafiska komplex där en gabbro har intruderats av väl-bevarade finkorniga basiska gångar. Liknande gångkomplex existerar längs hela fjällkedjan, t ex i Sarek och Finnmark. Om dessa komplex tillhör samma händelse representerar de en så betydande volym av magmatiska och vulkaniska bergarter att det finns skäl att anta att de har tillhört en s k stor magmatisk provins, *Large Igneous Province* (Andréasson et al 1998).

I ett plattektoniskt perspektiv representerar Kebnekaises Seveberggrund övergången mellan kontinental och oceanisk jordskorpa (Andréasson & Gee, 1989). Området representerar en mycket intressant fas i fjällkedjans uppkomst då de magmatiska och vulkaniska enheterna skulle kunna knytas till uppsprickningen av superkontinenten Rhodinia, varvid Baltica och Laurentia separerade.

Myloniter och ögongnejser är mycket vanliga i nordöstra Kebnekaiseområdet och två huvudtyper har påträffats. En mylonit har ögon med karakteristiska karlsbadvillingar, denna mylonit har rimligtvis en granitisk protolit, medan den andra typen troligtvis har en sedimentär protolit. Ögonen förfaller i ett fall ha vuxit i samband med deformationen, vilket är kontroversiellt (Vernon, 1980, 1990).

Detta examensarbete vid Geologiska Institutionen, Lunds Universitet, har som mål att:

- resultera i en beskrivning av Nallo-Räitästjäkktaområdets och Mårmatjäkkakåtotjäkkas tektonostratigrafiska ställning och tektoniska utveckling
- undersöka en nyupptäckt enhet, Nallognejsen, för att fastställa dess protolit och sätta in den i ett tektoniskt sammanhang
- beskriva de olika myloniterna och ögongnejserna och fastställa deras protoliter, samt undersöka bildningsmekanismen för megakristerna.

Arbetet utföres inom ramen för projektet *The Baltoscandian volcanic rifted margin: fragment of a Neoproterozoic-Cambrian Large Igneous Province?* finansierat av Vetenskapsrådet.



Nallos spetsiga topp är ett välkänt landmärke bland vandrare genom Vistavagge. Fotot är taget från öster; dalen heter Stuor Räitavagge; berget på dalens södra sida är Räitästjäkk (1934 m. ö. h.).

2. DE SKANDINAVISKA KALEDONIDERNA

Skandinaviska fjällkedjan sträcker sig över 1800 km och är ca 300 km bred (Fig. 1). Geologin präglas av skolltektonik där skollorna härstammar från kontinentala och marina miljöer, idag representerade som metamorfa och magmatiska bergarter av senproterozoiska till devonska åldrar samt skivor av prekambriskt kristallint urberg. Då fjällkedjan ställvis har en mycket djupgående erosion och hög blottningsgrad lämpar den sig mycket väl för studier av skollgeometri och de processer som styr en orogenes samt för rekonstruktioner av den passiva kontinentkant, som existerade innan bergskedjan bildades.

2.1 Plattektoniskt ursprung

Under senprekambrisk tid separerade kontinenterna Baltica och Laurentia som ett led i superkontinenten Rhodinias uppsprickande och det protoatlantiska Iapetushavet bildades i söder och Ægirhavet i norr, mellan Baltica och Siberia. Iapetushavet började i sen kambrium och tidig ordovicium att stängas till följd av att Baltica förflyttade sig mot Siberia, vilket var början till Skandinaviska Kaledonidernas bildning.

Uppbyggnaden inleddes med imbrikering av Balticas passiva kontinentkant. Den fas under tidig ordovicium, då Baltica kolliderade med ett öbågekomplex eller en mikrokontinent och subducerades, vilket förekomsten av eklogiter från denna tid i norra delarna av fjällkedjan vittnar om (Andréasson, 1994) benämns den Finnmarkiska fasen. Den huvudsakliga deformationsfasen, Skandiska fasen (Gee, 1975), var en kontinent-kontinentkollision mellan Baltica och Laurentia, som kulminerade mellan sen silur och tidig devon, då Baltica subducerades under Laurentia (Roberts & Gee, 1985). Under den Skandiska orogenesen imbrikerades och metamorfoseredes kontinentalt urberg, kontinentala och marina sediment samt litologier härrörande från Laurentia, vilka pressades upp på den Baltiska kontinentkanten som skollar. Den kollisionen var ett led i superkontinenten Pangea.

Den nuvarande topografiska ”fjällkedjan” etablerades då denna nybildade superkontinent började spricka upp och då riftbildningen fortsatte under tertiär mellan Baltica och Laurentia och den nuvarande Nordatlanten bildades.

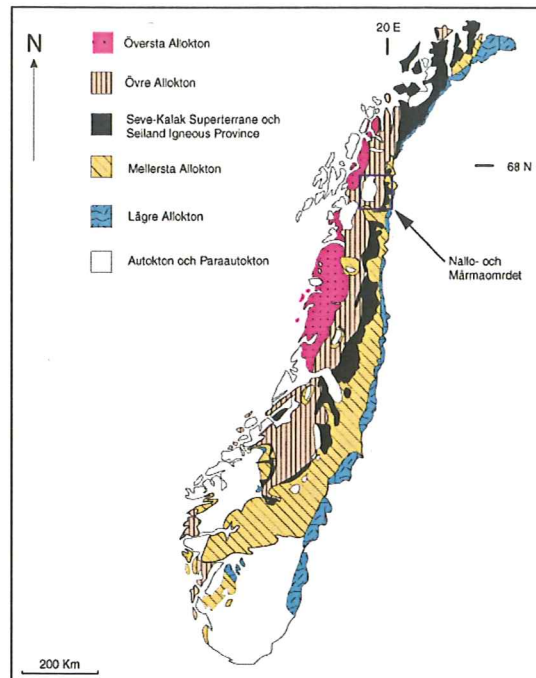


Fig. 1 Skandinaviska Kaledoniderna med undersökningsområdet markerat.

De Skandinaviska Kaledonidernas skollar har transporterats hundratals kilometer i östlig riktning vid ovan nämnda plattkollisioner. De enskilda skollorna varierar i tjocklek mellan ett hundratal meter till någon kilometer och förtunnas eller upphör helt i många fall mot väster (Zachrisson 1973). Den metamorfa graden ökar västerut och uppåt i stratigrafien (Andréasson och Brynhi, 1985).

2.2 Tektonisk uppbyggnad i stort

Kaledonidernas skollar grupperas traditionellt i fem huvudvudelement, beroende på tektonisk nivå och ursprungssmiljö. Dessa enheter är *Autokton och Paraautokton*, *Lägre Allokton*, *Mellersta Allokton*, *Övre Allokton* och *Översta Allokton*.

2.2.1. Autokton och Paraautokton

Dessa enheter domineras av kristallint urberg, vilket överlagras av senproterozoiska till kambriska sedimentekvenser, företrädesvis sandstenar och skiffrar (Gee & Zachrisson, 1979). Till Paraautoktonen hör de enheter av samma berggrund som endast förflyttats en kortare sträcka och därfor bär spår efter mindre tektoniska störningar.

2.2.1 Lägre Allokton

Lägre Allokton omfattas av korttransporterade, låggradigt metamorfoserede sedimentära bergarter av proterozoiska och kambriska till ordoviciska åldrar, huvudsakligen fluviala och ma-

rina sandstenar tilliter, kvartsiter, skiffrar, gråvackor, samt imbrikerade skivor av kristallint urberg (Roberts & Gee, 1985).

2.2.2 Mellersta Allokton

Enheterna i Mellersta Alloktonen består i huvudsak av senproterozoiska psammifer och deformerad imbrikerad kristallin berggrund (Roberts & Gee, 1985). Den generella metamorfa graden är grönskifferfacies. Lokalt har enheterna blivit starkt mylonitisera. Med sina diabassvärmar i senproterozoiska sediment representerar Mellersta Alloktonen riftbassänger längs den baltiska kontinentkanten.

Hit hör Särvskollorna.

2.3.3 Övre Allokton

Metasedimentära och metavulkaniska senproterozoiska till sensiluriska bergarter med varierande metamorf grad (grönskifferfacies och uppåt) och varierande deformationsgrad bygger upp den Övre Alloktonen. Prekambrisk berggrund förekommer sparsamt. Övre Allokton består av två huvudsakliga skollkomplex, Seveskollorna (se nedan) och Köliskollorna. Köliskollorna består av en sekvens av vulkaniska och sedimentära litologier i grönskifferfacies till amfibolitfacies (Gee & Zachrisson) medan Seveskollorna härör från de yttersta delarna av kontinentkanten.

2.2.4 Översta Allokton

Översta alloktonen representerar litologier från Laurentia och består av migmatiserade gnejser, skiffrar, konglomerat, dolomit- och marmorskvenser samt av vulkaniska bergarter (Roberts & Gee, 1985). Amfibolitfacies domineras.

2.3. Seve skollkomplex

Sevekomplexet är ett ca 800 km långt tektonostratigrafiskt bälte i de Skandinaviska Kaledoniderna (Fig. 1) och består av en serie enskilda skollar. Komplexet, som bygger upp Sveriges högsta fjälltoppar, är upp till en kilometer mäktigt men tunnas ut mot den svenska-norska gränsen. Skollorna tillhörande Seve är företrädesvis uppbyggda av psammitiska och pelitiska skiffrar och gnejser, marmorenheter, metabasiter, mafiska och enstaka granitiska intrusioner, lokala eklogiter, samt prekambrisk kristallin berggrund (Roberts & Gee 1985). Metabasiterna representerar metamorferade kuddlavor, basalter och diabaskomplex, vilket har tolkats som att Seve utgör de yttre delarna av Balticas passiva kontinentkant och övergången mellan kontinental och oceanisk jordskorpa (Andréasson 1994, Svenningsen 1994).

De metamorferade sedimentsekvenserna tros härröra från riftbassängerna i denna kontinentkant. I Finnmark, i nordligaste fjällkedjan, finns skollkomplexet Kalak med litologier som liknar Sevens varför Kalak har tolkats som en nordlig fortsättning av Seve skollkomplex. Till skillnad från Seve har emellertid Kalakkomplexet förts till Mellersta Alloktonen. Inom Sevekomplexet råder stor variation i metamorf grad. Amfibolitgrad domineras men migmatiter, granuliter och eklogiter förekommer även (Andréasson et al, 1998)

3. UNDERSÖKTA OMRÅDEN

Karteringen utfördes i två områden i Kebnekaise fjällområde (Fig. 1), i Nallo-Räitas-Tjäkta, (*Nalloområdet*) och Mårmatjäkka-Kåtotjäkka (*Mårmaområdet*). Dessa områden utgör tektonostratigrafiska nyckelområden. Med karteringen av Nalloområdet kan en sektion genom Kebnekaisemassivet upprättas från Vistasdalens i öster till Köliskollorna i väster. Kåtotjäkkaområdet sammankopplar Kebnekaise med Abiskofjällen i norr.

Kebnekaiseområdet är av högalpin och relativt svårtillgänglig natur, präglad av stora topografiska skillnader och karaktärstiska glaciationsdalar. Topparna når generellt från 1600 upp till strax under 2000 m ö h och dalarna ligger på nivåer mellan 800 m (Vistasvaggi) och 1200 (basläger 2). Blottningsgraden är i regel god. *Nalloområdet* ligger ca 10 km i nordnordvästlig riktning från Kebnekaises sydtopp och omfattar ca 24 km². Det avgränsas i nord-sydlig utsträckning mellan Bossusglaciärerna och Kuggjulskammen i norr respektive dalgången mot Unna Räitas i söder samt i öst-västlig utsträckning av Nallos sydsida i öst respektive västra sidan av Tjäktjatjäkkatoppen i väst. *Mårmaområdet* omfattar ca 20 km² och begränsas i nord-sydlig riktning av Alnesätos dalgång respektive Mårmatjäkkas sydsida och i öst-västlig riktning av Skadnjalahuglaciären och östsidan av Pieggtjäkka respektive Råkotjäkkas topp och Mårmatjäkkas västsida.

4. TIDIGARE ARBETEN

Den bild av geologin i Vistas-Mårmaområdet som Kulling presenterade 1964 har i princip varit den gällande fram tills dags dato. Nordkalottkortet (Geological Surveys of Finland, Norway and Sweden 1998) använder i huvudsak Kullings (1964) kartbild. Under 90-talet utfördes rekognosering (P.G Andréasson) samt

examensarbeen (Paulsson 1996, Sandelin 1997). Andréasson och Gee (1989) undersökte Tarfalaområdet (se Tektonostratigrafisk tabell sid. 27). Page (1992, 1993) arbetade i Singisområdet. Goerke (1993) utförde ett Diplomarbete (Heidelberg) kring Tarfala. Nilsson (1992) undersökte Laddjuvaggi inom ramen för ett examensarbete. Resultaten av dessa arbeten har sammanställts till en reviderad karta och tolkning (Andréasson et. al. i manuskript). Lindström (1985, 1987) karterade med hjälp av diplomastudente (Marburg) områden kring Torneträsk.

5. METODIK

Fältarbetet utfördes under augusti, 2000, med utgångspunkt från två basläger, inledningsvis en vecka vid Nallo för kartering av Nalloområdet, sedan fem dagar strax väster om Kåtotjåkka för kartering av Mårmaområdet. Transport till områdena skedde med helikopter från Nikkaluokta och Björkliden. Arbetet skedde med handledning av professor P-G Andréasson och tillsammans med Daniel Boman. Abisko Naturvetenskapliga station anlitades för förberedelser för fältarbetet samt som utgångspunkt för en mindre exkursion i Torneträskområdet.

Kemiska analyser av Nallognejsen utfördes vid laboratoriet i Greifswald för bestämning av huvudelementen och vissa spårelement genom XRF (X-ray fluorescence) av Zoltan Solyom samt kommersiellt vid ACME-laboratoriet i Vancouver för bestämning av spårelementen genom ICP-MS (Induced coupled plasma emission mass spectrometry). Vid XRF bestrålas provet med röntgenstrålning varvid ett ljusspektrum erhålls där halten av elementen indikeras av intensiteten av respektive ämnes karakteristiska våglängd. ICP-MS är en form av masspektrometri där provet först hettas upp till 10 000 K då det befinner sig i en plasma. Plasman slungas därefter genom ett rör där respektive jon sorteras efter vikt i ett massspektrum (för ytterligare information se Zoltan Solyom, manuskript). Viss undersökning har även skett i mikrosond (Geologiska Institutionen) för bestämning av kemiska variationer i fältspatskristaller.

6. BERGARTER

6.1 Boginjiramyonit

Boginjiramyoniten är den tektonostratigrafiskt lägsta enheten och förekommer i Mårmaområdet. Myloniten är nära associerad med Vistasgranit och Storglaciäregnejs. På Pieggatjåkkas västra slänt förekommer t ex Boginjiramy-

lonit både ovan och under Höktoppsmylonit och mot Vistasgraniten gränsar Boginjiramyonit i väster. Gradvis övergång mellan Vistasgranit och Boginjiramyonit kan studeras t ex vid jokken Boginjira ca tre km väster om södra delen av kartbladet (Andréasson, muntlig kommunikation.). Boginjiramyonit definieras med hänsyn till förhållandet matrix kontra megakrister som en protomylonit (10-50% matrix; Passchier & Trouw 1996). Mineralparagenesen visar att enheten tillhör amfibolitfacies (se tabell 1 nästa sida).

Bergarten är finkornig till tät. Till färgen är den gråblå och innehåller karakteristiska euhedra ögon av ca 2x3 cm stora, mattgrå kalifältspatskristaller (Plansch 1, a) med tydliga karlsbadtvillingar. Kristallerna orienterar sig längs den mylonitiska foliationen och även tvillingplanen är ungefärligen orienterade i foliationsriktningen, vilket framgår än tydligare i mikroskop (Plansch 1, b). Ögonen är ofta sericitiserade. Runt vissa av de större megakristerna finns en ca 2 mm bred, benvit till gulaktig mantel (Plansch 1, a och b). Ögonen förekommer relativt regelbundet i bergarten och finns även i mindre varianter, ner till några få mm, alla har dock gemensamt den elongerade och i foliationsriktningen orienterade formen. Boginjiramyoniten antar i de fall bergharten förekommer nära en tektonisk kontakt ett fyllonitiskt utseende, d v s en mycket glimmerrik och starkt folierad bergart, till färgen stålgrå till blå. I dessa fall saknar berghatten ofta helt fältspatögon (t ex vid lokal 101, ca 1 km V om Pieggatjåkkas topp).

Längs jokken Bieggarhppi är det möjligt att följa den gradvisa övergången från mylonit till ett betydligt mer granitiskt utseende hos myloniten. Det är i den granitiska varianten möjligt att urskilja mörkare sliror av metabasit, i slirorna ligger ljusa mineralkorn av epidot, zoisit och kvartskorn, som tolkas som omvandlingsprodukter av plagioklas. Mikroskopisk undersökning visar ett starkt mylonitisrat matrix bestående av kvarts, kalifältspat, muskovit, biotit, hornblände och mindre mängder epidot och titanit. Glimmer förekommer som tunna band, som omsluter megakristerna, medan polykristallin kvarts och fältspat förekommer i megakristernas tryckskuggor eller i elongerade band längs deformationsriktningen (Plansch 1, b). Granatkoronor förekommer runt strängar av kvarts i nära association med biotit från vilken granaten tillgodogör sig av Fe och Mg.

Tabell 1. Förteckning över de förekommande enheternas parageneser och metamorfa grad. Plag = plagioklas, px = pyroxen, hbl = hornblände, grt = granat, zoi = zoisit, skap = skapolit, ti = titanit, bi = biotit, kl = klorit, K-fsp == kalifältspat, musk = muskovit.

| Enhet | Parageneser | Metamorf grad | Övrigt |
|---------------------|--|-------------------------------------|------------------|
| Kebne Gång-komplex | <ul style="list-style-type: none"> ▪ plag + px + hbl ▪ plag + hbl + grt ▪ plag + zoi + grt +skap ▪ plag + hbl + ti | Amfibolitfacies | |
| Nallognejs | <ul style="list-style-type: none"> ▪ grt + bi + kl | Grönskifferfacies | |
| Storglaciären-gnejs | <ul style="list-style-type: none"> ▪ sill + K-fsp + musk + grt | Övre Amfibolitfacies-Granulitfacies | Uppsmältnings |
| Boginjira-mylonit | <ul style="list-style-type: none"> ▪ K-fsp + musk + grt | Amfibolitfacies | Myrmekitbildning |

6.2 Storglaciärengnejs

Storglaciärengnejs är en mylonitisk gnejs överlagrar Boginjiramyloniten i Mårmaområdet men utgör lägsta karterade enheten i Nallområdet, där enheten förekommer på två stratigrafiska nivåer som skiljer sig åt i mäktighet och utseende. Den lägre nivån är lokaliseras i Räitasvaggi, dalen mot Unna Räitas, samt i ett bälte runt Nallo och förekommer på höjder mellan 800 och 1200 meter. Den övre gnejsen förekommer som ett tunt band på Tjäktjatjåkkas sydsida samt längs överskjutningen norr om Nallo (se berggrundskartorna).

Bergarten är rosa till grålila och har karakteristiska gula till vita band och ögonformade linser av kvarts och fältspat samt är starkt folierad (Plansch 1, c). Gnejsen består av en tät grundmassa samt av ögonformade, 5-15 cm stora kvarts- och fältspatskristaller, 2 mm-2 cm stora granater, biotit och muskovit. Storglaciärengnejs tillhör övre amfibolitfacies (tabell 1). Förekomsten av ögon präglar utseendet även i Storglaciärengnejsen men de är inte lika frekvent förekommande som i som i Boginjiramyloniten och annorlunda till utseendet.

Storglaciärengnejs klassificeras enligt förhållandet mellan matrix och porfyroklastar som en protomylonit (10-50% matrix, Passchier & Trouw 1996). Deformationslameller i kvarts är vanliga i Storglaciärengnejs men de ligger inte alltid i foliationsriktningen. Den övre nivån i Nallområdet saknar de tydliga kvarts- och fältspatsögonen som finns utbildade i den lägre nivån

I Mårmaområdet är ofta granaterna omgärdade av vit leukosom (smältsmaterial), framför allt koncentrerat i granaternas tryckskuggor. I samma område förekommer en metabasitisk gångbergart som boudiner i gnejsen (Boman 2001). Boudinerna är generellt 20 cm-5 m långa med finkorniga yttre delar och grovkornigare centrala delar, ofta med ofitisk textur. I enstaka fall kan man identifiera kontinuerliga boudinage av metabasiter (Plansch 1, d). Även runt boudinerna finns den vita leukosomen ansamlat, ofta i ansenliga mängder i boudinernas tryckskuggor. Framförallt kan stora kristaller av plagioklas, kalifältspat och kvarts identifieras, men även stora flak av biotit och muskovit samt granater förekommer i leukosomet. I flera fall har leukosomen vandrat in i sprickor i boudinerna. Oftast ligger boudinerna parallellt med gnejsens foliation men vid lokal 88, ca 400 m NNO om sjöns 1257 norra vik, är en gång diskordant mot gnejsfoliationen. På lokal 118, ca 600 m NV om sjöns 1257 norra vik, är den basiska gångbergarten veckad istället för boudinerad. Boudiner av kalksilikat förekommer också, vilka är något mindre i storlek än metabasitboudinerna, upp till 0,5 m långa (Plansch 1, e).

En starkt folierad variant av Storglaciärengnejsen med omväxlande ultramylonitiska band och glimmerrika horisonter förekommer också. Denna variant saknar helt de ovan beskrivna kvarts- och fältspatsögon. Mikroskopiska studier av Storglaciärengnejsen visar en mycket finkornig grundmassa bestående av kvarts, biotit, muskovit, kyanit och opaka mineral. Kalifältspat och starkt undulöst utsläck-

ande kvarts förekommer som megakrister, omgärdade av *subgrains* längs kanter och i tryckskuggor (Plansch 1, f). Övriga megakrister består av plagioklas och anhedral till subhedral granat, ofta omslutna av glimmer och polykristallin kvarts. Vissa fältspatskorn visar tecken på nedbrytning då de har en smutsigt brun påväxt av biotit. Mellan kvartskornen finns suturerade korngränser och ibland förekommer fint trådformig fibriolit (en variant av sillimanit) mellan kornen. Vissa prov visar början till stavformade kvartsaggregat. Kyanten uppträder som taylor och nälar, i de senare fallen ofta veckade och lokaliserade till tryckskuggor. Även glimmermineralen är koncentrerade i tryckskuggorna.

Den kvartsrika varianten av Storglaciärengnejsen innehåller förutom kvarts större korn av plagioklas, biotit, muskovit, titanit och starkt zonerade subidioblastiska epidoter.

I ett prov förekommer pseudotachylit som består av kloritiserasad mycket finkornig massa av kvarts. Klorit förekommer ofta som sprickfyllnadsmaterial.

Kemiska analyser av Storglaciärengnejsen tolkade Goerke (1993) som en typisk sammansättning på ett sediment, med låga SiO_2 -halter och höga halter av Al_2O_3 , K_2O , Na_2O . Mineralparagenesen där bl a muskovit och kyanit är vanligt förekommande tyder tillsammans med förekomsten av kalksilikatlinser också på ett sedimentärt ursprung.

6.3 Nallognejs

Nallognejsen överlagrar tektoniskt Storglaciärengnejsen. Gnejsen är ljust grå och uppträder oftast med en tydlig foliation definierad av mörka mineral (Plansch 1, g). Ibland, främst på Nallos östsida, är gnejsen intensivt veckad. Mineralsammansättningen består av kvarts, fältspat, granater, biotit och hornblände, vissa delar av enheten är även mycket glimmerrika. Kornstorleken varierar från ca 3 mm till tät. På lokal 062, 500 m N om glaciären vid Tjäkjatjäkka, innehåller gnejsen ögon av plagioklas. Mineralparagenesen tyder på att enheten tillhör grönkifferfacies (tabell 1).

Mikroskopiska analyser av Nallognejsen visar en dominans av kvarts och kalifältspat. Kvarts förekommer i en grundmassa av finkorniga likformiga kristaller med suturerade korngränser och i form av fenokrister omgivna av det finkorniga materialet, samt inom domäner eller sliror av grovkornigare kristaller med granoblastiska polygona texturer. Dessa sliror

kan representera reliker av aplitgångar. Av fältspaterna domineras kalifältspat som tillsammans med kvarts utgör den finkorniga grundmassan.

Biotit och muskovit är orienterade i foliationsriktningen eller runt större korn i form av flagor, båda växer på granater. Klorit förekommer också som sprickfyllnadsmaterial. Både biotit och klorit växer på och i granater. Granat är mycket vanlig i gnejsen, den uppträder från flisor till idioblastiska korn. I ett prov har granaterna idioblastiska kärnor och välutbildade yttre kanter men är ändå poikilitiska däremellan, denna zon tyder på en period av snabb tillväxt av granaterna. Vissa granater visar internt pretektoniskt *fabric* med inneslutningar av rutil och opaka mineral (Plansch 1, h).

Talrika epidotkorn förekommer som porfyröbler och är tydligt zonerade, liksom zoisitkornen. Grundmassan innehåller dessutom enstaka titanitkorn och opaka mineral.

6.3.1 Klassificering

För att fastställa Nallognejsens protolit utfördes kemisk analys på 12 prover. Analysdata för spårelement och oxider finns redovisade i tabeller 2-3, sid. 11-12.

En metod för klassificering av magmatiska bergarter (De La Roche et al. 1980) prövades. R1 och R2 är två parametrar baserade på huvudelementens katjonsproportioner (millikatjoner):

$$\begin{aligned} \text{R1} &= 4\text{Si} - 11(\text{Na} + \text{K}) - 2(\text{Fe} + \text{Ti}) \\ \text{R2} &= 6\text{Ca} + 2\text{Mg} + \text{Al} \end{aligned}$$

Detta klassificeringssystem har den fördelen att det tar hänsyn till bergartens samliga huvudelement. Nallognejsens tolv prover fördelar sig på två grupper (Fig. 2), en större grupp på gränsen mellan granodiorit och monzogranit och en grupp med färre prov i tonalitfältet. En modalanalys med punktrräkning genomfördes av fyra prov sedan färgning av kalifältspat hade utförts. Resultaten sammanfaller då med R1/R2-klassificeringen (Fig. 3). En normativ beräkning av samtliga prover visade en liknande gruppering med de flesta proven i monzogranitfältet och fyra i högra delen av granodioritfältet (Fig. 4). Det får anses styrkt att en mindre grupp av tonalitisk sammansättning existerar då både R1/R2-klassificeringen och den modala beräkningen indikerar detta, samt eftersom båda metoderna

till skillnad från normativ beräkning, bygger direkt på mineralogisk och kemisk sammansättning. De fyra tonalitproverna är inte hämtade från samma område varför samman-

sättningen på Nallognejsen ser ut att kunna variera mellan granodioritisk/monzogranitisk och tonalitisk.

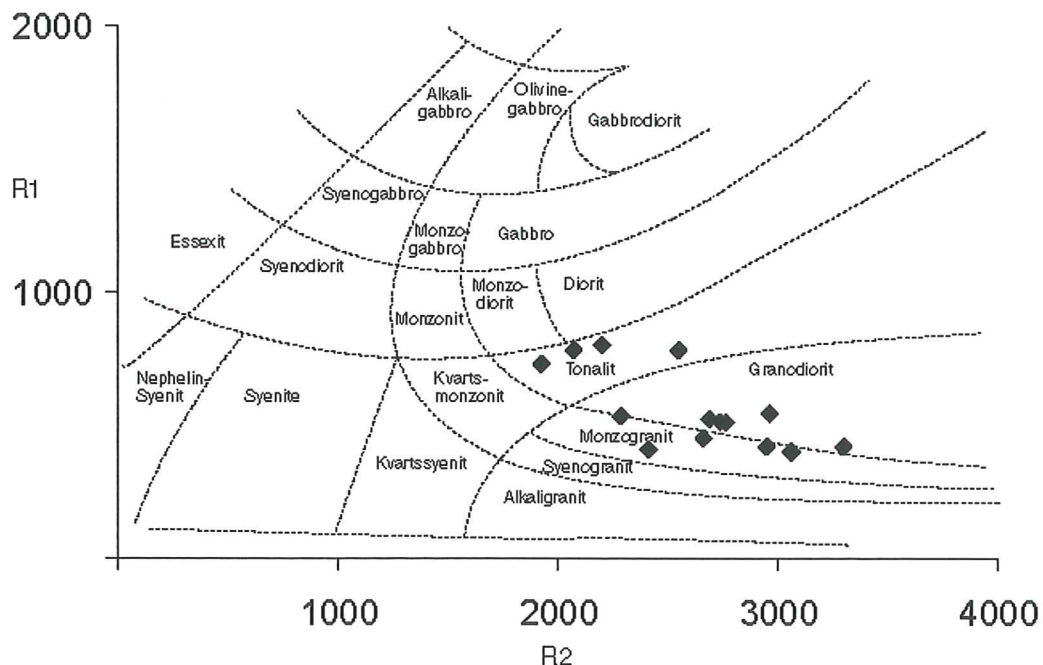


Fig. 2 Nallognejsens klassificering enligt R1/R2-metoden.

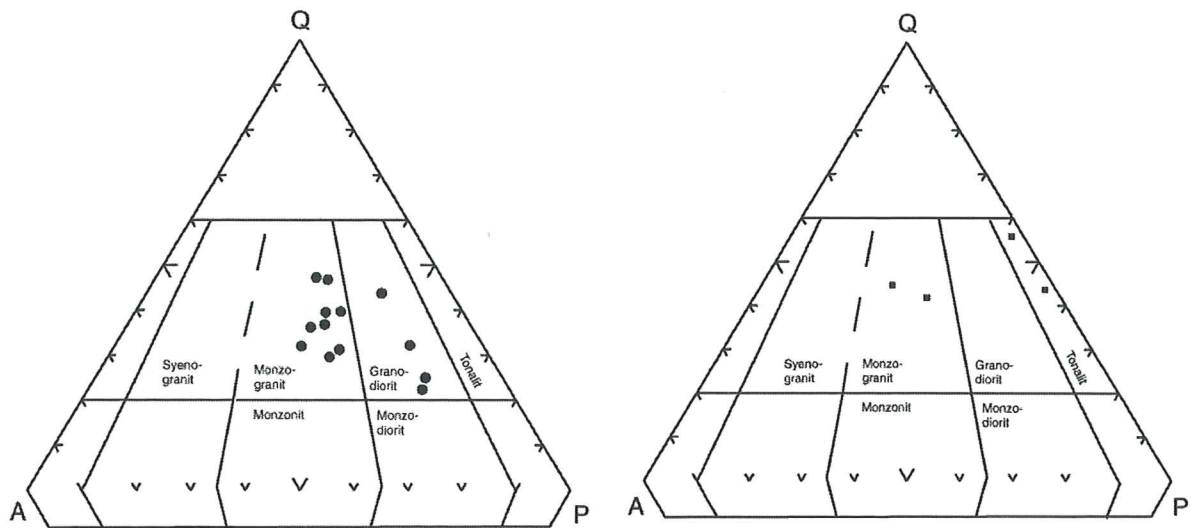


Fig. 3 Modalanalys utförd på fyra prov av Nallognejs. Resultaten sammanfaller med R1/R2-klassificeringen.

Fig. 4 Normativ beräkning utförd på Nallognejsens 12 prover. Resultatet visar en liknande trend som för R1/R2-klassificeringen.

Tabell 2. Nallognejsens kemiska sammansättning; huvudelement och vissa spårelement.

Analyserna utförda av Zoltan Solyom vid Greifswalds universitet. Se text angående metod mm.

| Prov nr | 1 | 2 | 3 | 4 | 5 | 6 | 7 | 8 | 9 | 10 | 11 | 12 |
|------------------------------------|--------|--------|-------|-------|--------|-------|-------|-------|--------|-------|-------|--------|
| w.-% | | | | | | | | | | | | |
| SiO₂ | 76.96 | 57.61 | 65.38 | 68.13 | 66.65 | 65.9 | 71.23 | 73.37 | 71.08 | 71.05 | 73.91 | 73.83 |
| TiO₂ | 0.48 | 1.09 | 0.85 | 0.8 | 1.05 | 0.43 | 0.77 | 0.32 | 0.71 | 0.7 | 0.52 | 0.43 |
| Al₂O₃ | 11.35 | 19.89 | 15.77 | 13.86 | 14.9 | 16.23 | 12.94 | 13.53 | 12.93 | 12.63 | 10.84 | 12.71 |
| Fe₂O₃ | 2.72 | 9.15 | 4.94 | 5.65 | 6.17 | 3.41 | 5.33 | 1.58 | 5.61 | 5.41 | 2.74 | 3.13 |
| MnO | 0.05 | 0.13 | 0.13 | 0.05 | 0.09 | 0.05 | 0.04 | 0.02 | 0.08 | 0.08 | 0.05 | 0.04 |
| MgO | 0.73 | 2.37 | 1.73 | 0.93 | 1.8 | 1.44 | 0.91 | 0.49 | 0.76 | 0.77 | 0.69 | 0.44 |
| CaO | 1.52 | 2.07 | 3.82 | 2.06 | 3.76 | 3.68 | 2.04 | 1.18 | 2.21 | 2.1 | 1.45 | 1.72 |
| Na₂O | 2.49 | 2.38 | 4.27 | 3.24 | 3.5 | 4.66 | 2.92 | 3.21 | 2.67 | 2.64 | 2.66 | 2.94 |
| K₂O | 3.66 | 3.44 | 2.13 | 4.03 | 1.97 | 2.39 | 3.34 | 5.5 | 4.03 | 3.85 | 3.34 | 4.77 |
| P₂O₅ | 0.15 | 0.31 | 0.18 | 0.18 | 0.18 | 0.2 | 0.19 | 0.1 | 0.18 | 0.18 | 0.07 | 0.1 |
| LOI | 0.4 | 1.63 | 0.59 | 0.64 | 0.35 | 0.92 | 0.28 | 0.34 | 0.19 | 0.21 | 0.45 | 0.77 |
| Summa | 100.51 | 100.07 | 99.79 | 99.57 | 100.42 | 99.31 | 99.99 | 99.64 | 100.45 | 99.62 | 96.72 | 100.88 |
| ppm | | | | | | | | | | | | |
| Nb | 12 | 22 | 21 | 17 | 19 | 7 | 18 | 14 | 17 | 16 | 12 | 13 |
| Zr | 245 | 216 | 474 | 430 | 512 | 93 | 425 | 236 | 429 | 393 | 294 | 294 |
| Y | 24 | 57 | 52 | 57 | 39 | 10 | 48 | 35 | 50 | 46 | 26 | 45 |
| Sr | 213 | 232 | 147 | 167 | 182 | 889 | 139 | 74 | 164 | 156 | 213 | 104 |
| Rb | 106 | 147 | 91 | 141 | 91 | 23 | 124 | 251 | 149 | 149 | 108 | 171 |
| Ga | 11 | 26 | 17 | 19 | 18 | 19 | 15 | 15 | 18 | 16 | 12 | 18 |
| Ni | 7 | 38 | <4 | 5 | 11 | <4 | 5 | <4 | <4 | <4 | 6 | <4 |
| Co | 49 | 53 | 46 | 49 | 57 | 46 | 57 | 44 | 63 | 77 | 56 | 54 |
| Cr | 33 | 80 | 26 | 24 | 53 | 18 | 24 | 10 | 16 | 24 | 32 | 11 |
| V | 47 | 124 | 60 | 49 | 89 | 54 | 51 | 22 | 47 | 34 | 49 | 39 |
| Ba | 780 | 894 | 484 | 845 | 501 | 918 | 879 | 453 | 803 | 714 | 724 | 750 |
| Ce | 53 | 69 | 99 | 84 | 91 | 30 | 86 | 61 | 53 | 38 | 56 | 92 |
| La | 33 | 60 | 56 | 58 | 49 | 19 | 39 | 35 | 21 | 8 | 26 | 49 |
| Th | 7 | 19 | 18 | 13 | 12 | <4 | 12 | 20 | 17 | 14 | 7 | 15 |
| Cu | <4 | 41 | 12 | 19 | <4 | <4 | 22 | <4 | 11 | 13 | <4 | 7 |
| Zn | 27 | 130 | 160 | 34 | 39 | 54 | 29 | 8 | 49 | 68 | 24 | 32 |

Tabell 3. Nallognejsens kemiska sammansättning: spårelement. Acme Analytical, Vancouver.

| Prov nr ppm | 1 | 2 | 3 | 4 | 5 | 6 | 7 | 8 | 9 | 10 | 11 | 12 |
|----------------|-----|-----|-----|-----|-----|------|-----|-----|-----|-----|-----|-----|
| Ba | 723 | 883 | 457 | 836 | 484 | 890 | 899 | 440 | 773 | 740 | 731 | 771 |
| C | 48 | 52 | 45 | 48 | 54 | 43 | 52 | 43 | 62 | 48 | 55 | 54 |
| Cs | 2 | 7 | 1 | 2 | 3 | 0 | 3 | 7 | 4 | 4 | 2 | 3 |
| Ga | 13 | 29 | 22 | 22 | 21 | 20 | 19 | 18 | 21 | 20 | 13 | 21 |
| Hf | 7 | 6 | 12 | 12 | 13 | 3 | 11 | 7 | 11 | 11 | 8 | 9 |
| Nb | 9 | 22 | 21 | 17 | 19 | 4 | 17 | 14 | 17 | 17 | 10 | 13 |
| Rb | 100 | 150 | 91 | 150 | 94 | 22 | 114 | 243 | 151 | 151 | 107 | 179 |
| Sn | 2 | 4 | 3 | 3 | 2 | 2 | 2 | 9 | 3 | 4 | 2 | 3 |
| Sr | 233 | 250 | 155 | 191 | 200 | 1340 | 153 | 87 | 187 | 179 | 237 | 121 |
| Ta | 1 | 2 | 2 | 2 | 1 | 0 | 2 | 2 | 2 | 2 | 1 | 1 |
| Th | 7 | 18 | 16 | 14 | 15 | 0 | 13 | 17 | 14 | 13 | 8 | 15 |
| Tl | 1 | 1 | 1 | 0 | 0 | 1 | 0 | 1 | 1 | 1 | 1 | 1 |
| U | 2 | 4 | 5 | 4 | 3 | 0 | 3 | 7 | 4 | 3 | 2 | 3 |
| V | 37 | 124 | 55 | 51 | 75 | 44 | 39 | 17 | 31 | 36 | 39 | 19 |
| W | 355 | 284 | 321 | 326 | 344 | 314 | 385 | 329 | 484 | 596 | 435 | 423 |
| Zr | 213 | 186 | 397 | 373 | 463 | 88 | 332 | 205 | 352 | 346 | 256 | 263 |
| Y | 21 | 54 | 53 | 57 | 39 | 7 | 46 | 31 | 49 | 45 | 24 | 45 |
| La | 32 | 37 | 53 | 58 | 50 | 20 | 43 | 29 | 25 | 18 | 33 | 51 |
| Ce | 65 | 82 | 117 | 104 | 109 | 42 | 104 | 74 | 65 | 44 | 65 | 112 |
| Pr | 7 | 17 | 13 | 15 | 12 | 5 | 12 | 8 | 8 | 5 | 8 | 13 |
| Nd | 29 | 66 | 53 | 60 | 49 | 21 | 50 | 31 | 32 | 22 | 30 | 50 |
| Sm | 5 | 13 | 11 | 12 | 10 | 4 | 10 | 7 | 8 | 5 | 5 | 10 |
| Eu | 1 | 3 | 2 | 2 | 2 | 1 | 2 | 1 | 2 | 1 | 1 | 2 |
| Gd | 4 | 10 | 8 | 9 | 7 | 3 | 8 | 5 | 7 | 5 | 4 | 8 |
| Tb | 1 | 2 | 1 | 2 | 1 | 0 | 1 | 1 | 1 | 1 | 1 | 1 |
| Dy | 4 | 10 | 9 | 10 | 7 | 2 | 9 | 6 | 9 | 7 | 4 | 8 |
| Ho | 1 | 2 | 2 | 2 | 1 | 0 | 2 | 1 | 2 | 2 | 1 | 2 |
| Er | 2 | 6 | 6 | 6 | 5 | 1 | 6 | 3 | 3 | 5 | 3 | 5 |
| Tm | 0 | 1 | 1 | 1 | 1 | 0 | 1 | 0 | 0 | 1 | 0 | 1 |
| Yb | 2 | 5 | 6 | 6 | 4 | 1 | 5 | 3 | 5 | 5 | 3 | 4 |
| Lu | 0 | 1 | 1 | 1 | 1 | 0 | 1 | 0 | 1 | 1 | 0 | 1 |

6.3.2 REE-mönster

De sällsynta jordartselementen visar ett liknande mönster för alla proven utom för två (Fig. 5a). Den huvudsakliga trenden framgår av en grupp med alla proven utom fem, som visar närmast identiska trender där inga kurvor korsar varandra (Fig. 5b). Inbördes skillnader i REE-mönster för Nallognejsen kan bero på olika grad av deformation och därmed även olika grad av omvandling av bergarten.

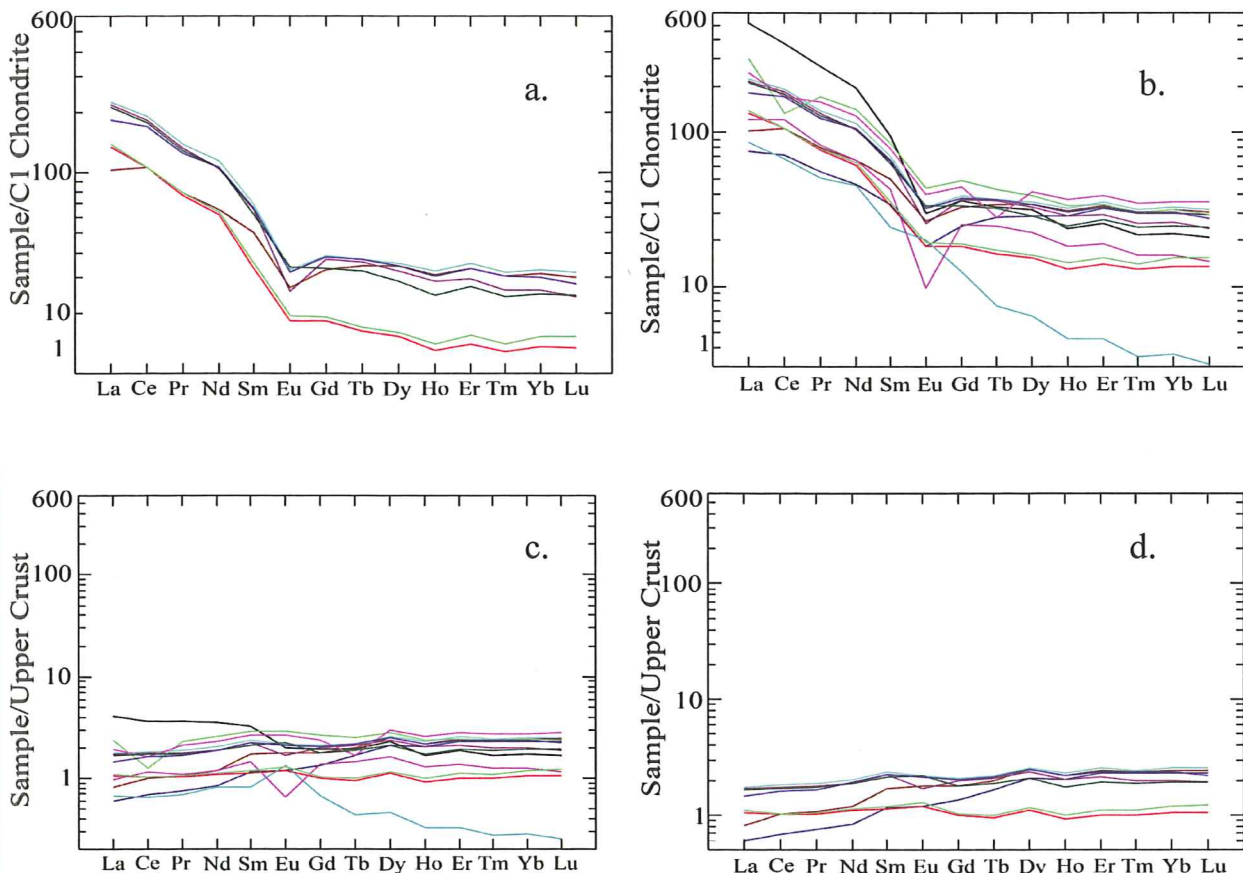


Fig. 5a REE-mönster för Nallognejsens samtliga prover normerade mot kondrit. 5b REE-mönster för Nallognejsens samtliga prover utom fem stycken normerade mot kondrit. 5c REE-mönster för Nallognejsens samtliga 12 prover normerade mot övre jordskorpa, där kurvan utgör en ungefärlig rät linje. 5d Samtliga utom fem av Nallognejsens prov plottade mot övre jordskorpa där kurvan i REE-diagrammet utgör en ungefärligt rät linje.

Gnejsen har negativ europiumanomali vilket förekommer när granitiska magmor har genomgått differentiation och fraktionerats på plagioklas eller kalifältspat. Om elementen plotas mot den normerade övre jordskorpans sammansättning, finner man att kvoterna orienterar sig kring en vågrät linje, vilket alltså kan tyda på likheter med graniter som härrör från övre jordskorpan (Fig. 5c och d).

6.4 Kebne Gångkomplex

Kebne Gångkomplex (*Kebne Dyke Complex*, Andréasson & Gee 1989) är en amfibolit som är utgör de högsta topparna i Kebnekaiseområdet. Två varianter av amfibolit uppträder i Kebne Gångkomplex, dels en finkornig typ och dels en grovkornigare, typ vilken ställvis innehåller vita eller gula sliror.

Den finkornigare varianten är mörkt grå till svart och domineras av mörka mineral. Makroskopiskt kan amfibol, plagioklas, biotit, kvarts samt granat i vissa hällar identifieras. Genomsnittlig diameter på kornen varierar mellan 0,5 till 2 mm. Amfiboliten varierar från tjockbandad och massiv till mycket utpräglad folierad. På ett stort antal hällar förekommer en rostbrun vittringshud orsakad av en sulfid-

mineralisering. På och kring toppen 1991 (Mårmaområdet) förekommer en strimmig grön variant av amfibolit. Kebne Gångkomplex tillhör amfibolitfacies (tabell 1).

Den grovkornigare typen av amfibolit förekommer frekvent i Nalloområdet och där ofta på högre höjd än föregående typ. Den är svart till färgen, vanligen med gula till mjölkvita sliror av kvarts och fältspater (Plansch 2, a). Mörka mineral dominarar men varianter med 50-50% förhållande mellan mörka och ljusa mineral är inte sällsynta. Kornstorleken varierar mellan 0,5-1 cm i diameter och samma mineral som de i föregående typ är möjliga att bestämma makroskopiskt. De ljusare sliorna är diskontinuerliga och varierar i tjocklek mellan 1 mm och 1 cm. Även denna typ av amfibolit skiftar mellan icke folierad till utpräglat folierad, i det senare fallet med band av ljusare material respektive horisonter med mörkare material. I denna typ förekommer ofta mörka band som antagligen representerar basiska gångar.

Någon kontakt mellan dessa två varianter av amfibolit har inte kunnat identifieras, där emot är kontakerna ofta distinkta mellan de talrika mörka banden som påträffas i båda typer av amfibolit.

I Mårmaområdet förekommer på lokal 098, mitt emellan de två delarna av sjön 1257, ett ca 0,5 m tjockt band av marmor konkordant med amfibolitfoliationen.

Mikroskopiska observationer av Kebne Gångkomplex visar en mineralsammansättning domineras av hornblände. Hornbländet förekommer dels som flak och dels som små kristaller sammanfogade till större aggregat. Generellt har det hornbländets karakteristiska gröna färg men även en blekare variant förekommer. Mineralkornen är oftast subidioblastiska till formen och orienterar sig i foliationsriktningen. De pyroxener som uppträder i bergarten är ofta på väg att brytas ned, vilket indikeras av ilmenitavblandning i ett mörkgrått till svart, fint nätmönster. De före detta pyroxenerna omgärdas ofta av en rand av hornblände som i sin tur omgärdas av en rand av skapolit (Plansch 2, b). Ibland är det tydligt att hornbländet har vandrat in i pyroxenkristallerna.

Plagioklas och kvarts existerar ofta tillsammans och utgör då ett finkornigt matrix till större korn av hornblände och skapolit. Kvartskristallernas suturerade korngränser är en tydlig indikation på den deformation bergarten har genomgått. Plagioklas med utbildade albit-

tvillingar förekommer också som större kristaller.

Granater uppträder sporadiskt och är i dessa fall relativt små och idioblastiska. Granat uppträder även i form av koronatexturer runt plagioklaskristaller, vilket kan tolkas som en förhöjning av trycket.

Epidotgruppen utgör i flera fall ett betydande inslag i amfiboliten, kristallerna är ofta zonerade. Zoisit förekommer i princip i varje prov och uppträder både som små färglösa nålar i plagioklas och som kvastformiga flak med karakteristisk berlinerblå interferensfärg.

Titanit är mycket vanlig, kornen har i de flesta fallen väl utbildade kristallformer och ligger orienterade i amfibolitens foliationsriktning. I vissa prov domineras rutil över titanit vilket kan tyda på en metamorf historia med högre tryck.

För övrigt förekommer mindre mängder biotit, zirkon samt opaka mineral. Bland de opaka mineralen märks särskilt hematit, eftersom det i vissa fall uppträder med sin röda egenfärg då kornen är mycket tunna. I övervägande fall är amfiboliten mer eller mindre utpräglat folierad (i mikroskopisk skala) men i ett fall förekommer vad som närmast kan beskrivas som ofitisk textur, förslagsvis en ursprunglig textur från en diabasgång.

Vid lokal 154, ca 300 m SO om Tjaktjatjäkkas topp, förekommer en ca 50x30 m stor kropp av ultramafiska bergarter i amfiboliten. Bergarten är homogen och massiv, pyroxen- och amfibolrik. I kroppen påträffas smala gångar samt gropvittrande klumpar. Dessa visar i mikroskop en stark dominans av tremolit med små kärnor av enstatit. Vidare förekommer serpentin i strimmor samt grönfärgad flogopit. En mera ingående beskrivning av förekomsten redovisas i Andréasson et. al. (i manuskript).

6.5 Köliberggrund

Köliberggrunden är den tektonstratigrafiskt överst liggande enheten i området. Den mycket begränsade delen av köliskollen som undersöktes i detta arbete består av intensivt veckad och deformerad glimmerrik kärvsiffer, samt amfibolit. Kärvsiftern visar en mängd mesoskopiska strukturer, bl a kinkveck, kollapsrelaterade veck och S-C-fabrics.

7. STRUKTURER

Den regionala foliationen i området stupar cirka 20° mot SV (Fig. 6a och berggrundsgeologiska kartor). I Nalloområdet förekommer dock stora variationer (Fig. 6b) på grund av veckning, t ex kring Nallofjället varierar foliationen kraftigt. Detta gäller även i Mårmaområdet där de centrala delarna visar en mer ostlig stupning (Fig. 6c). I Nalloområdet förekommer ett antal synformer och antiformer, t ex den Ö-V orienterade antiformen på Nallo, vilken i fält ter sig tämligen otydlig, men som framkommer vid foliationsmätningar i dessa områden (se berggrundskartan över Nalloområdet).

Undersökningsområdet är mycket rikt på mesoskopiska veck där samtliga bergarter har veckats. Veck är särskilt vanliga i Storglaciärengnejsen och Nallognejsen; Nallos östra slänt har en ansenlig mängd tydliga veck bevarade. Två grupper av veck kan identifieras, dels de med veckaxlar orienterade i N-S riktning och dels den domininerande gruppen av så kallade transversella veck, med veckaxlar orienterade Ö-V (Fig. 6d). Veck med veckaxlar i nordsydlig orientering är förmodligen bildade i samband med överskjutningen och vecken med mer Ö-V veckaxlar har antagligen uppstått i samband med överskjutningen eller under

fjällkedjans kollaps, som även innebär ett visst moment av rotation. Ofta är vecken i området isoklinala och mycket tätta, i de fall de visar någon vergens vetter den mot SO. Den generella orienteringen av veckaxlar och lineationer i området är VNV-OSO, dock långt ifrån entydigt, stupningen är företrädesvis mot VNV (Fig. 6d). Den VNV trenden på transportlineationer och veckaxlar är i samstämmighet med de transversella strukturer som präglar överskjutningszoner i stora delar av fjällkedjan.

Lineationen är i regel flack, runt 10° men upp mot 25° i enstaka fall (Fig. 6d). I Storglaciärengnejsen och Kebne Gångkomplex förekommer på flera lokaler *kinematiska skjutvindikatorer*, bl a asymmetriska granater och kalksilikatsboudiner, samt S-C-fabrics. Makroskopiska och mikroskopiska studier av dessa indikerar en transport åt SO. I basen av Kölliskollen observerades dock transport mot NV.

Flexurer förekommer relativt frekvent i framför allt Mårmaområdet. Dessa extensionsrelaterade strukturer är utbildade senare än vecken. Flexurplanen stupar i riktning SO, utom i ett fall i Nalloområdet där en flexur stupar västerut. Flexuraxlarna visar trender på SV-NO, ett undantag är en flexuraxel uppmätt i Nallo som pekar mot SO.

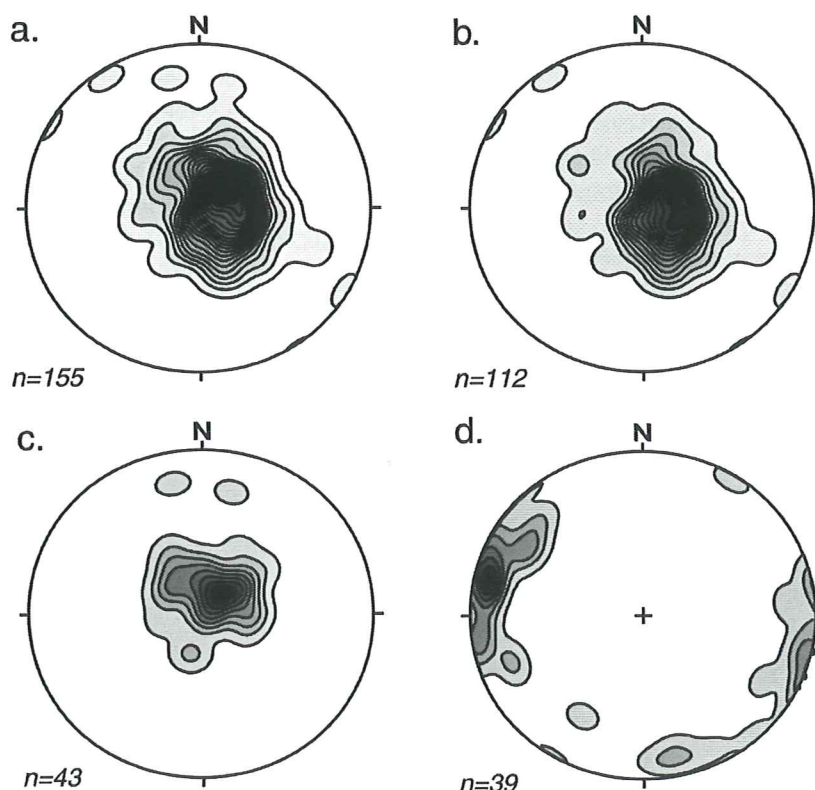


Fig. 6a Poler till foliationsytter för Mårma- och Nalloområdet, 6b: Poler till foliationsytter för Nalloområdet, 6c: Poler till foliationsytter för Mårmaområdet, 6d: Veckaxlar och lineationsriktningar för Mårma- och Nalloområdet.

8. KOMMENTAR TILL DE GEOLOGISKA KARTORNA

8.1 Nalloområdet

Imbrikeringen på Nallos nordsida är otydlig i fält men grundar sig på det faktum att då Storglaciärengnejsen överlagrar Kebne Gångkomplex måste en tektonostratigrafisk gräns föreligga. Den nordliga delen på denna överskjutning bygger på extrapoleringar från områden med känd stratigrafi. Detta gäller även för övriga delar av Kugghjulskammen då dess branta topografi försvårar karteringen. Det samma gäller överskjutningen på Tjäktatjåkkas östsida.

Kölibergrunden i väst måste avgöras med en normalförfästning mot amfiboliten, då Köli normalt överlagrar Seve tektoniskt, men i detta område förekommer på en topografiskt lägre nivå än amfiboliten. Kinematiska indikatorer stöder en sådan tolkning (se ovan).

Den västliga kontakten mellan mylonit och amfibolit i Unna Räitasvaggi är oskarp i fält på grund av avsaknad av hällar och är dragen där mylonitblock börjar dominera.

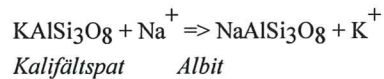
8.2 Mårmamorådet

Nallognejsen, som förekommer i områdets sydvästra hörn fortsätter med stor säkerhet ner längs dalen som följer Mårmatjåkka då det finns observationer från tidigare arbeten på en liknande gnejsenhets vid bron i Vistasvagge, sydväst om detta område (Andréasson, muntlig kommunikation). Marmorstråken i kartans norra delar och bergarten ”Gnejs med fältspatögon” är överförda från Kullings karta (1964). Höktoppsmylonitens och Boginjiramylonitens fortsättning i väster bygger på antagandet att de förekommer på samma stratigrafiska nivåer som de gör i de centrala delarna av området. Boginjiramyloniten övergår mot öster i Vistasgranit, vilken förekommer vid Suorivarri.

9. ÖGONMYLONITERNA

9.1 Boginjiramylonitens ögon

Vanligtvis har Boginjiramylonitens fältspatsmegakristaler inneslutningar av kvarts eller sammanväxta med aggregat av polykristallin kvarts med suturerade korngränser. Megakristerna förekommer antingen med en mantelkärnastruktur eller som homogena kristaller. Mantlarna består av polykristallin albitoligoklas och mindre mängder kvarts. Kärnan består av ortoklas. De homogena kristallerna består enbart av plagioklas. Generellt sett består de mindre ögonen endast av albit medan de större har kärnor av kalifältspat. I megakristerna förkommer tvillingbildning av främst karlsbadtyp. Sannolikt förekommer två generationer av fältspatsögon. Fältspatsögonen visar inga tecken på kemisk zonering. Då de mindre kornen består av albit är det troligt att kalifältspaten har börjat brytas ned till albitisk plagioklas. Harlov och Wirth (2000) rapporterade om albitrika ränder som förekom mellan K-fältspat och plagioklas. Detta tolkades som en migrerande korngräns mellan två faser där utbyte av katjoner skedde enligt reaktionen:

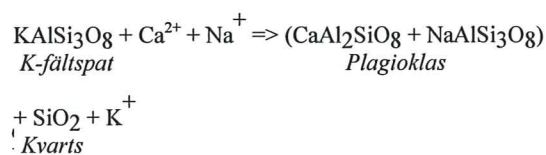


Tillförsel av Na genom fluider underlättades genom deformationen. I Vistasgranit uppträder fältspatfenokristerna mycket mer sällan med tvillingar av den typ som utmärker porfyroklasterna i myloniten och med, i de fall de förekommer alls, betydligt tunnare mantlar av kvarts och fältspat. I prov från en något deformerad Vistasgranit förekommer dock tvillingbildning i högre grad och med tjockare mantlar kring ögonen, vilket således indikerar att dessa fenomen är knutna till deformationen. Kristallerna utan mantlar representerar en senare bildad generation, vilken bildades under mylonitiseringen, samtidigt som mantlarna runt kalifältspatsögonen bildades. Paulsson (1996) föreslog att Vistasgranitens mantlar hade bildats genom metamorfos då diabas intruderade graniten.

9.2 Storglaciäregnejsens ögon

Storglaciäregnejsens megakrister består i de flesta fall av kalifältspat utan tvillingbildning men också av kvarts. Goerke (1993) föreslog att fältspatsögonen kan ha uppkommit genom fragmentering och deformation av pegmatitgångar och således utgöra porfyroklastar. Vernon (1990) argumenterade för att fältspatögon i ögongnejser eller myloniter oftast, om inte alltid, representerar relika fenokrister, istället för porfyroblaster som vuxit till i samband med deformationen. Som argument för detta anger han bl a att ögon i ögongnejser visar intern plastisk deformation och omkristallisering i form av tvillingar och *subgrains*. Vidare anser Vernon (1990), att ögon omslutna av matrix inte kan ha vuxit till under deformation. Storglaciäregnejsen visar tydliga tecken på intern plastisk deformation med t ex kraftig undulös utsläckning och matrix omsluter fältspaterna. Förekomsten av dessa fenomen kan dock inte utesluta att en tillväxt av megakristerna har skett under ett tidigt skede av mylonitiseringen. Detta är istället troligt eftersom inga associerade sedimentära enheter har liknande ögon som skulle kunna representera ursprungliga megakrister. Megakristerna har en homogen kemisk sammansättning utan zonering vilket pekar på en bildningsprocess under deformation, eftersom relika korn borde visa mer tecken på omvandling. Nilsson (1992) förklarade ögonens bildning genom att upplöst fältspat och kvarts under metasomatose hade vandrat ut i kontinuerliga horisonter vilka vid en senare deformationsfas hade boudinerats.

Längs megakristernas långsidor förekommer ofta myrmekit (Plansch 2, c och d). Uppkomsten av myrmekit är fortfarande osäker (Harbour & Wirth 1999) men tycks vara knuten till deformation och progressiv metamorfos. Bildningen verkar kräva en masstransport i en fast fas, d v s att kalifältspat övergår till plagioklas och kvarts (Simpson & Wintsch 1989), enligt reaktionen: (ej balanserad):



Paulsson (1996) och Sandelin (1997) beskrev en lokal där Storglaciäregnejsens motsvarighet öster om Mårmaområdet (Höktopps-

myloniten, se 10.1.2) övergår till mylonit utan ögon, via en migmatit. Även i Nalloområdet antar bergarten ibland lokalt ett mer migmatitiskt utseende (Plansch 2, f). Paulsson (1996) föreslog att den mylonitiska delen kunde ha undgått migmatisering eftersom den befinner sig i en veckomböjning.

I detta arbete utfördes mikroskopiska studier av övergångzonerna mellan ögonlös respektive migmatiserad Höktoppsmylonit. Dessa visar, att bergartens deformationsgrad ökar samtidigt som migmatiseringen tilltar. Det är tydligt att fältspatsögonen uppträder mer frekvent och som större kristaller efterhand som deformationsgraden ökar.

Detta indikerar att bergarten genomgått två deformationsfaser. Vid den första har en psammitisk sedimentbergart mylonitiseras. Under detta tidiga skede av deformationen har fältspatsögonen bildats och deras tillväxt har gynnats genom prograd metamorfos, indikerat av förekomsten av myrmekit. Vid den andra deformationsfasen har en temperaturökning skett då bergarten blivit delvis migmatiserad samtidigt som den mylonitiska texturen har omkristalliseras till en deformationsfri textur. Fältspatsögonen har också försunnit i samband med omkristalliseringen under denna sena deformationsfas.

10. DISKUSSION

10.1 Tektonostratigrafisk korrelation med angränsande områden

10.1.1 Tarfala, Singis och Laddjuvaggi

Undersökningsområdena kan korreleras med de högsta enheterna inom Tarfala-, Singis- och Laddjuvaggiområdena söder om detta arbetes karteringsområde, se diagram sista sidan! Likheten är stor i utseende och mineralogi mellan amfiboliten Naloområdets och Mårmaområdets amfibolit, liksom med amfiboliten som förekommer söder om dessa områden (Andréasson & Gee, 1989, Nilsson 1992, Page 1993, Goerke 1993). Likaså stämmer observationerna på Storglaciäregnejsens utseende och förekomst i undersökningsområdet väl överens med beskrivningar av denna enhet i Tarfala-, Singis- och Laddjuvaggiområdena. Finkornig granitisk gnejs i Tarfalaområdet som förekommer på Tarfalatjåkkas sydostsida mellan

Kebne gångkomplex och Storglaciäregnejs (Andréasson et. al., i manuskript) kan motsvara Nallognejsen. Storglaciäregnejsen vilar i söder på Tarfalaamfiboliten, vilken inte har påträffats i de undersökta områdena i detta arbete.

10.1.2 Mårma-Vistas

Norrut och österut, i Mårma-Vistasområdet (Paulsson 1996, Sandelin 1997) kan Kebne Gångkomplex korreleras med Vierrutjokkaamfiboliten (diagram sista sidan). Denna amfibolit överlagrar här Höktoppsmyloniten, vilken korreleras med Nalloområdets och Mårmaområdets Storglaciäregnejs eftersom utseende, mineralsammansättning samt förekomsten av metabasitiska boudiner i bergarten överensstämmer helt. Paulsson (1996) och Sandelin (1997) korrelerar Vierrutjokkaamfiboliten med Tarfalaamfiboliten i söder, men eftersom Storglaciäregnejsen och Höktoppsmyloniten nu kan anses vara samma enhet är det rimligare att anta, att Vierrutjokkaamfiboliten motsvarar Kebne Gångkomplex. Detta medför att Sevens lägre gräns bör flyttas nedåt i stratigrafen i Kebnekaise. Boginjiramylnonen korreleras med Mårmakomplexet som bl a innehåller Vistasgraniten och dess mylonitisrade form. Nallognejsen som förekommer i Mårmaområdets sydvästra har observerats strax väster om förekomsten i Mårmaområdet (Andréasson, muntlig kommunikation). Alip Suordalsmyloniten, som Paulsson (1996) och Sandelin (1997) identifierade under Mårmakomplexet är troligtvis den basala av två horisonter av Storglaciäregnejs, då Alip Suordalsmyloniten och Höktoppsmyloniten beskrivs som mycket lika i utseende och mineralogi. Storglaciäregnejsen förekommer ju på två nivåer även i Nalloområdet. Abiskoskollen har inte kunnat identifieras i något av undersökningsområdena och får förmodas ha kilat ut i strax norr om Mårma. Nalloområdets stratigrafiskt lägsta enheten är Storglaciäregnejs. Denna enhet vilar troligtvis på Mårmakomplexet, vilket förekommer alldeles öster om Nallofjället, men ingen blottning av Mårmakomplexet påträffades i fält.

10.1.3 Torneträsk

I Torneträskområdet förekommer troligtvis inte Kebne Gångkomplex då det inte kan korreleras med Amfibolit och Gabbro i seven (Lindström et. al. 1985, 1987) eller Kathols

(1989) Vaivvancohkka Nappe, eftersom dessa amfibolitenheter även innehållar sedimentära sekvenser. Kebne Gångkomplex kilar således ut mot norr. Under Vaivvancohkka Nappe förekommer en blastomylonitisk gnejs (Lindströms et. al. 1985, 1987), eller Övre gnejs (Kathol 1989), vilket innehåller metabasitiska linser. Denna enhet motsvarar sannolikt Storglaciäregnejsen. I Torneträsk överlagrar denna övre gnejs i sin tur en amfibolitenhet (Kathol 1989) vilken är möjlig att korrelera med Tarfala-Aurekamfiboliten (Andréasson & Gee, 1989) i Tarfala, men som inte går i dagen i undersökningsområdet för detta arbete. Under amfibolitenheten förekommer en kvartsrik skiffer (Lindström et. al. 1985, 1987), eller en Lägre gnejs (Kathol 1989), vilken förslagsvis kan korreleras med Mårmaområdets Boginjiramylnon, under förutsättning att den kvartsrika skiffern representerar en betydligt mer deformad Boginjiramylnon. I Mårmaområdet förekommer även en fyllonitisk variant av Boginjiramylnon (se avsnitt 6.1). Den kvartsrika skiffern förekommer för övrigt mellan två enheter som får anses utgöra goda ledhorisonter i stratigrafen varför en korrelering med Boginjiramylnonen är motiverad. Paulsson (1996) och Sandelin (1997) kunde korrelera Mellersta Alloktonens dolomitsekvens och underliggande kvarts-fältspatsrika *hardschist* i Torneträsk (förutom Pånjeenheden vilken kilar ut mot Kaisepakte) med en liknande stratigrafisk sekvens i norra delarna av deras undersökningsområde. Mårmaområdets nordligaste del innehåller en dolomitsekvens (även enligt Kulling 1964) vilket möjliggör en korrelation med Abiskoskollen och Mårmaområdets nordligaste och stratigrafiskt lägst belägna delar. Abiskoskollen vilar på Rautaskomplexet i Torneträsk som i sin tur överlagrar Lägre Alloktonens Dividalgruppen.

10.1.4 Indre Troms

Indre Troms översta enhet, Rohkunborriskolan (Stølen 1994, 1997) motsvarar antagligen Torneträskens Vaivvancohkka Nappe eftersom båda innehåller basiska gångar vilka har intruderat i karbonatdominerade sediment. Rohkunborriskolan överlagrar en ögongnejs med metabasitlinser (Stølen 1994, 1997) som liknar Storglaciäregnejsen, vilket möjliggör en korrelation enheterna emellan. Ögongnejsen överlagrar i sin tur en amfibolit vilken motsvaras av amfiboliten i Torneträsk som Kathol

(1989) beskrev och Tarfala-Aurek-amfiboliten (Andréasson & Gee, 1989). Den lägsta Sevenheten i Indre Troms utgörs av en lägre gnejs (Stølen 1994, 1997) som Stølen korrelerar mot Lindströms kvartsrika skiffer längst i Torne-träskes seveenhets och som även passar in på Kathols (1989) Lägre gnejs. Mellersta Alloktonen utgörs här av Målselvkollan, som vilar på Divedalgruppen.

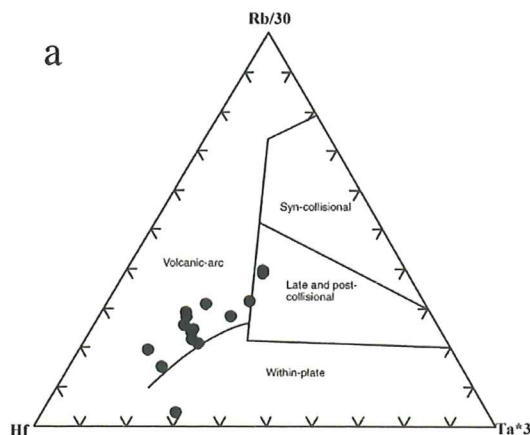
10.2 Boginjiramylonitens protolit

Övergången mellan Vistasgranit och Boginjira-mylonit vid Boginjira (Andréasson, personliga kommunikationer) utgör det säkraste beviset för Boginjiramylonitens granitiska härkomst. Då epidot, muskovit och titanit är vanligt förekommande i proven stöder även detta en granitisk härkomst eftersom dessa mineral är typiska nedbrytningsprodukter när granit deformeras vid låg metamorf grad. Boginjiramyloniten innehåller ibland metabasitband (Plansch 2, e), vilka härrör från diabasgångarna i Vistasgraniten.

10.3 Tektonisk utvecklingsmodell

Nallo- och Mårmaormådets bergarter har sitt ursprung i både magmatiska och sedimentära bergarter. De kisel- och i vissa fall kalkrika sedimenten som Storglaciäregnejsen ursprungligen bestod av härstammar troligtvis från de yttre delarna av kontinentkanten. Goerke (1993) föreslog en kontinentnära källa med utgångspunkt från kemin. Förekomsten av boudiner av före detta diabas pekar på att sedimentationen har skett i en riftassocierad miljö där diabas har intruderat under extension.

Fig. 7a Majoriteten av Nallognejsens prover faller inom fältet "volcanic arc" i diskrimineringsdiagram av typen Rb-Hf-Ta. Som kan förväntas, visar de två diagrammen liknande resultat.



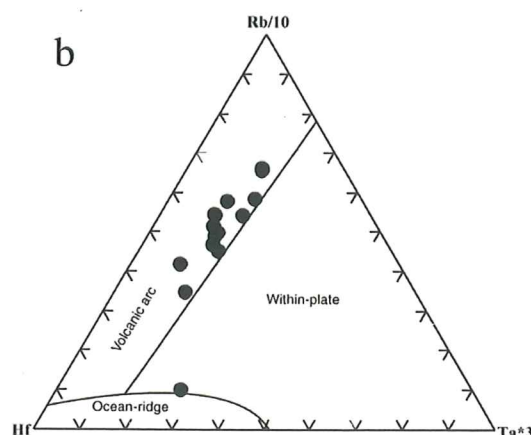
Storglaciäregnejsens deformationshistoria är som tidigare nämnts komplex. Den har genomgått minst två deformationsfaser vilket illustreras av inslag av porfyroblastiska kalifältspatsögon och migmatisering.

Kebne Gångkomplex överlagrar tektoniskt Storglaciäregnejsen och bör härröra från ett område väster om Storglaciäregnejsen. Spären efter basiska gångar i amfiboliten tyder på en miljö som också utsatts för extension. Den skulle därför kunna representera de mellersta delarna av en ofiolitsekvens, d v s havsbotten som under nybildande av ocean jordskarpa intruderats av basiska gångar.

Ultramafitkomplexet som identifierades i Nallo kan då representera de lägre enheterna av en havsbottensprofil. De epidotinslag, som ställvis uppträder indikerar att bergarten har reagerat med havsvatten. Det kan dock inte uteslutas att slirorna av kalksilikat som förekommer relativt frekvent över hela området markerar en med sedimenten intimt associerad bergart, vilket kalkstensbandet i Mårmaområdet indikerar.

Nallognejsen förekommer ibland som skivor inuti amfiboliten men aldrig i Storglaciäregnejsen (t ex Nallos sydsida). Vidare är kontakten mellan Nallognejsen och Kebne Gångkomplex aldrig riktigt skarp medan kontakten mellan Nallognejsen och underliggande Storglaciäregnejsen vid minst en lokal är det. Detta talar således för att Nallognejsen är associerad med Kebne Gångkomplex och inte med Storglaciäregnejsen. Det är även en tydlig skillnad i metamorf grad mellan Nallognejsen och Storglaciäregnejsen (Tabell 1).

I diagram för undersökning av plattektoniskt ursprung av basalter enligt Harris et. al. (1986) faller Nallognejsens prover inom fältet "volcanic-arc granite" utom ett prov, som tillhör *within-plate granite* (Fig. 7).



Det senare provet (lokal 062) saknar Nallognejsens karaktäristiska utseende samt är mycket finkornigare med en mer utpräglad foliation än vad genomsnittliga prov av Nallognejsen har. Deformation och omvandling kan vara orsak till avvikelsen. Rb är ett element som lätt plockas upp från sediment i samband med intrusion varför graniter således kan få onormalt höga Rb-värden. Nallognejsen förekommer dock i amfibolit, varför kontamination med sediment är mindre trolig. Det kan inte uteslutas att provet inte representerar Nallognejsen.

Tektoniska diskrimineringsdiagram av ovan nämnda typ innebär alltid en viss osäkerhet men resultaten pekar på två möjligheter för Nallognejsens bildning. Graniten kan antingen ha intruderat i samband med subduktionen av Baltica under den kaledonska orogenesen i samband med överskjutningen av Kebne Gångkomplex och vid ett senare skede blivit deformerad. Alternativt kan enheten ha utgjort en öbåge vilken kolliderade med Baltica under det tidiga, Finnmarkiska skedet av orogenesen. Nallognejsen har utsatts för minst två deformationsfaser, vilket indikeras av internt *fabric* i granaterna (Plansch 1, h). Dessa båda deformationer är rimligtvis associerade med dess förflyttning upp på Balticas kontinentkant.

Vistasgraniten har en kristallisationsålder på 845 Ma och är associerad med gabbro (Paulsson & Andréasson, 2001). I Kalaks skollkomplex i Finnmark finns en sekvens som både till litologi och ålder liknar Vistasgranten och Mårmakomplexet. Troligtvis kan således dessa magmatiska komplex i Vistas och Finnmark korreleras med varandra. Boginjiramyloniten bildades sannolikt under den kaledonska orogenesens överskjutningsfas, då Vistasgranten mylonitisrades.

11. SLUTSATSER

De undersökta områdenas berggrund, som tidigare karterats som enbart amfibolit, består även till stor del av ögonmyloniter samt en granitisk gnejs, Nallognejsen.

Undersökningsområdena kan korreleras med de övre enheterna i Seveskollkomplexet i områdena söderut samt med Seveberggrunden norrut. Stratigrafisk korrelation med närliggande områden medför, att Sevens lägre kontakt flyttas nedåt i tektonostratigrafen.

Nallognejsen är nära associerad med Kebne Gångkomplex och har en granodioritisk-/monzogranitisk till tonalitisk protolit.

Boginjiramyloniten representerar en mylonitisrad form av Vistasgraniten och dess megakristers mantlar och tvillingbildning har uppstått under deformation.

Storglaciäregnejsen har en sedimentär bergart samt migmatit som protoliter och dess porfyroblaster av kalifältspat har vuxit under deformation. Bergarten har genomgått minst två deformationsfaser.

12. TACKORD

Ett stort tack främst till min handledare professor PG Andréasson för teoretisk vägledning och praktisk hjälp, inte minst under de senaste veckorna. Tack till Vetenskapsrådet för stöd med logistik och kostnader i samband med fältarbetet, och ANS, Abisko Naturvetenskapliga Station för logi under tiden i fält. Tack till Zoltan Solyom för hjälp med kemiska analyser av Nallognejsen. Och tack till min kamrat Daniel Boman för trevlig tid i fält, samt övrig personal på geologen för hjälp med allehanda problem.

13. REFERENSER

- Andréasson, P. G., 1994: The Baltoscandian Margin in Neoproterozoic - Early Palaeozoic time. Some constraints on terrane derivation and accretion in the Arctic Scandinavian Caledonides. *Tectonophysics* 231, 1-32.
- Andréasson, P. G. & Gee, D. G., 1989b: Bedrock geology and morphology of the Tarfala area, Kebnekaise Mts. *Geografiska annaler* 71A, 235-239.
- Andréasson, P. G. & Gorbatschev, R., 1980: Metamorphism in extensive nappe terranes: a study of the central Scandinavian Caledonides. *Geologiska Föreningens i Stockholm Förhandlingar* 102, 335-357.
- Andréasson, P. G., Svenningsen, O. M. & Albrecht, L., 1998: Dawn of Panerozoic orogeny in the North Atlantic tract; Evidence from the Seve-Kalak Superterrane, Scandinavian Caledonides. *GFF* 120, 159-172.
- De la Roche, H., Leterrier, J., Grandclaude, P. & Marchal, M., 1980: A classification of volcanic and plutonic rocks using R1R2-diagram and major element analyses - its relationships with current nomenclature. *Chemical Geology* 29, 183-210.
- Gee, D. G., 1975: A tectonic model for the central part of the Scandinavian Caledonides. *American Journal of Science* 275A, 468-515.
- Goerke, U. 1993. *Geologische Untersuchungen im südlichen Kebnekaise-Gebiet, Tarfala, in den Skandinavischen Kaledoniden, Nordschweden*. Diploma Thesis, Ruprecht-Karls-Inversität, Heidelberg.
- Harlov, D. E. & Wirth, R., 2000 K-feldspar-quartz and K-feldspar-plagioclase phase boundary interactions in garnet-orthopyroxene gneiss's from the Val Strona di Omegna, Ivrea-Verbano Zone.northern Italy. *Contributions to Mineralogy and Petrology* 140, 128-162.
- Harris N.B.W., Pearce J. A. & Tindle A.G., 1986 Geochemical characteristics of collision-zone magmatism. *Collision tectonics*. Spec. Publ. Geol. Soc., 19, 67-81.
- Kathol, B., 1989: Evolution of the rifted and subducted Late Proterozoic to Early Paleozoic Baltoscandian margin in the Torneträsk section, northern Swedish Caledonides. *Stockholm contributions in Geology* 42, 1-83.
- Kulling, O., 1964: Översikt över norra Norrbottenfjällens Kaledonidberggrund. *Sveriges Geologiska Undersökning Ser C* 19, 1-166.
- Lindström, M., Bax, G., Dinger, M., Dvoratzek, M., Erdtmann, W., Fricke, A., Kathol, B., Klinge, H., von Pape, P. & Stumpf, U., 1985: Geology of a part of the Torneträsk section of the Caledonian front, northern Sweden. In: D. G. Gee & B. S. Sturt (eds.): *The Caledonide Orogen - Scandinavia and Related Areas*, 507-513. John Wiley and Sons, Chichester.
- Lindström, M., 1987: Northernmost Scandinavia in the geological perspective.

Ecological Bulletins 38, 17-37.

Nilsson, P. 1992. *Caledonian geology of the Ladjovaggi valley, Kebnekaise Area, northern Swedish Caledonides*. Examensarbeten i Geologi Nr 43, Lund University.

Page, L. M., 1992: Ar40/39Ar geochronological constraints on timing of deformation and metamorphism of the Central Norrbotten Caledonides, Sweden. *Geological Journal* 27, 127-150.

Page, L. M., 1993: Tectonostratigraphy and Caledonian structure of the Singis-Tjuoltajaure area, central Norrbotten Caledonides, Sweden. *Geologiska Föreningens i Stockholm Förhandlingar* 115, 165-180.

Paulsson, O. 1996. *Sevekomplexets utbredning i norra Kebnekaise, Skandinaviska Kaledoniderna*. Examensarbeten i Geologi Nr 80, Lund University.

Paulsson, O. & Andréasson, P. G. 2001. Ion Probe Dating of Complex Zircons from the 0.85 Ga old Allochthonous Vistas Granite, Swedish Caledonides: A Study Aimed at Reconstructing Ancient Continental Margins. European Union of Geosciences April 8-12, 2001, Strasbourg. *Journal of Conference Abstracts* 6, 595.

Roberts, D. & Gee, D. G. 1985: An introduction to the structure of the Scandinavian Caledonides. In: D. G. Gee & B. S. Sturt (eds.): *The Caledonide Orogen - Scandinavia and Related Areas*, 55-68. John Wiley and Sons, Chichester.

Sandelin, S. 1997. *Tektonostratigrafi och protoliter i Mårma-Vistasområdet, Kebnekaise, Skandinaviska Kaledoniderna*. Examensarbeten i Geologi Nr 81, Lund University.

Stølen, L. K., 1994a: The rift-related mafic dyke complex of the Rohkunborri Nappe, Indre Troms, northern Norwegian Caledonides. *Norsk Geologisk Tidsskrift* 74, 35-47.

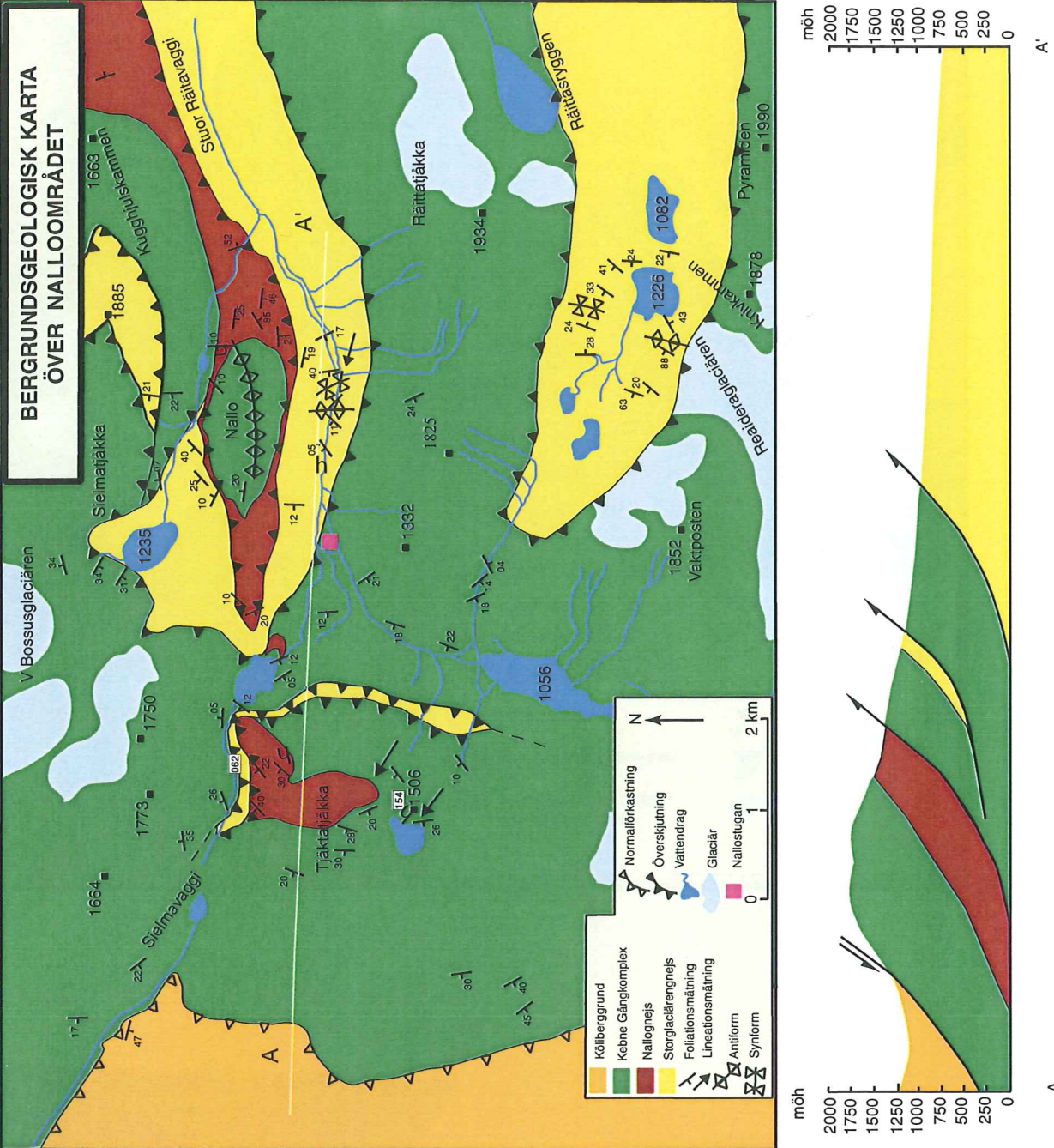
Stølen, L. K., 1994b: *The rift-related mafic dyke complex of the Rohkunborri Nappe, Indre Troms, northern Scandinavian Caledonides*. Ph D Thesis, Institute of Geology, Department of Mineralogy and Petrology, Lund University, Lund.

Svenningsen, O. M., 1994: The Baltica-Iapetus passive margin dyke complex in the Sarektjåkkå Nappe, northern Swedish Caledonides. *Geological Journal* 29, 323-354.

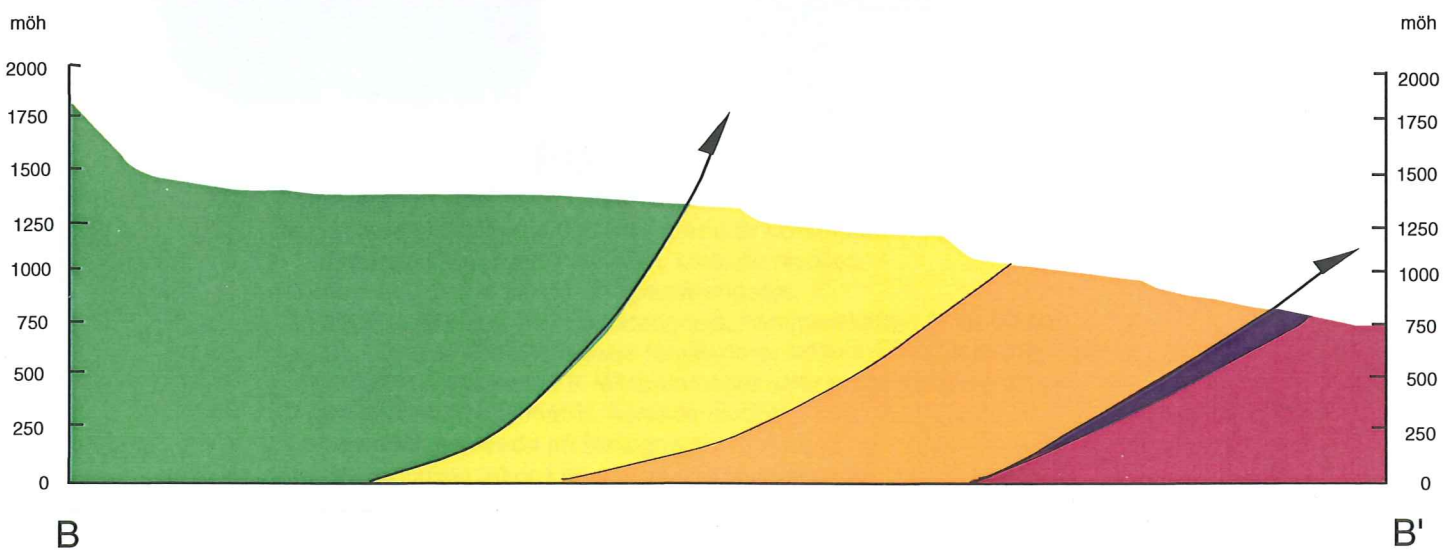
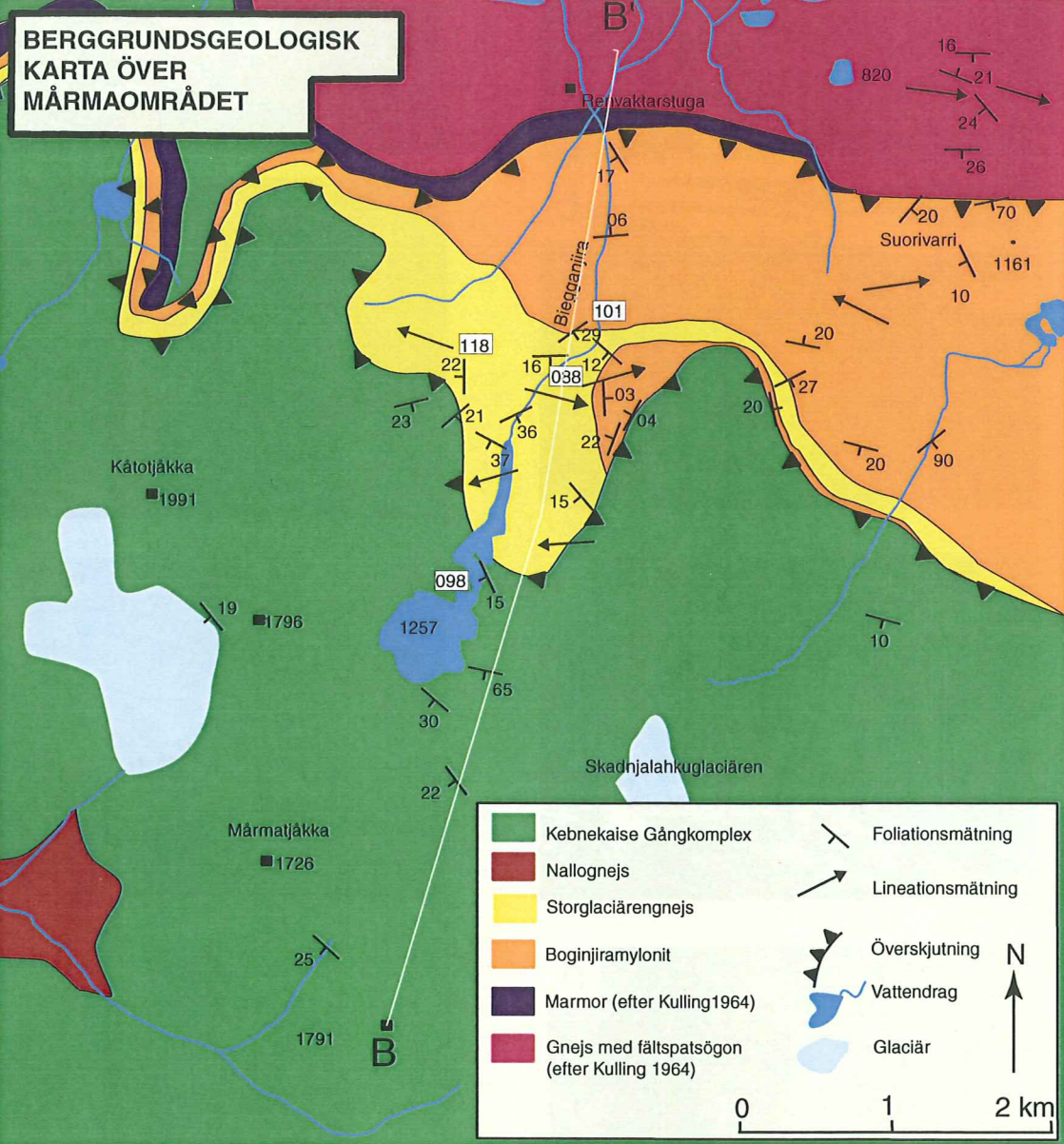
Torsvik, T. H. & Rehnström, E. F., 2001: Cambrian Palaeomagnetic data from Baltica: implications for true polar wander and Cambrian palaeogeography. *Journal of the Geological Society of London* 158, 321-329.

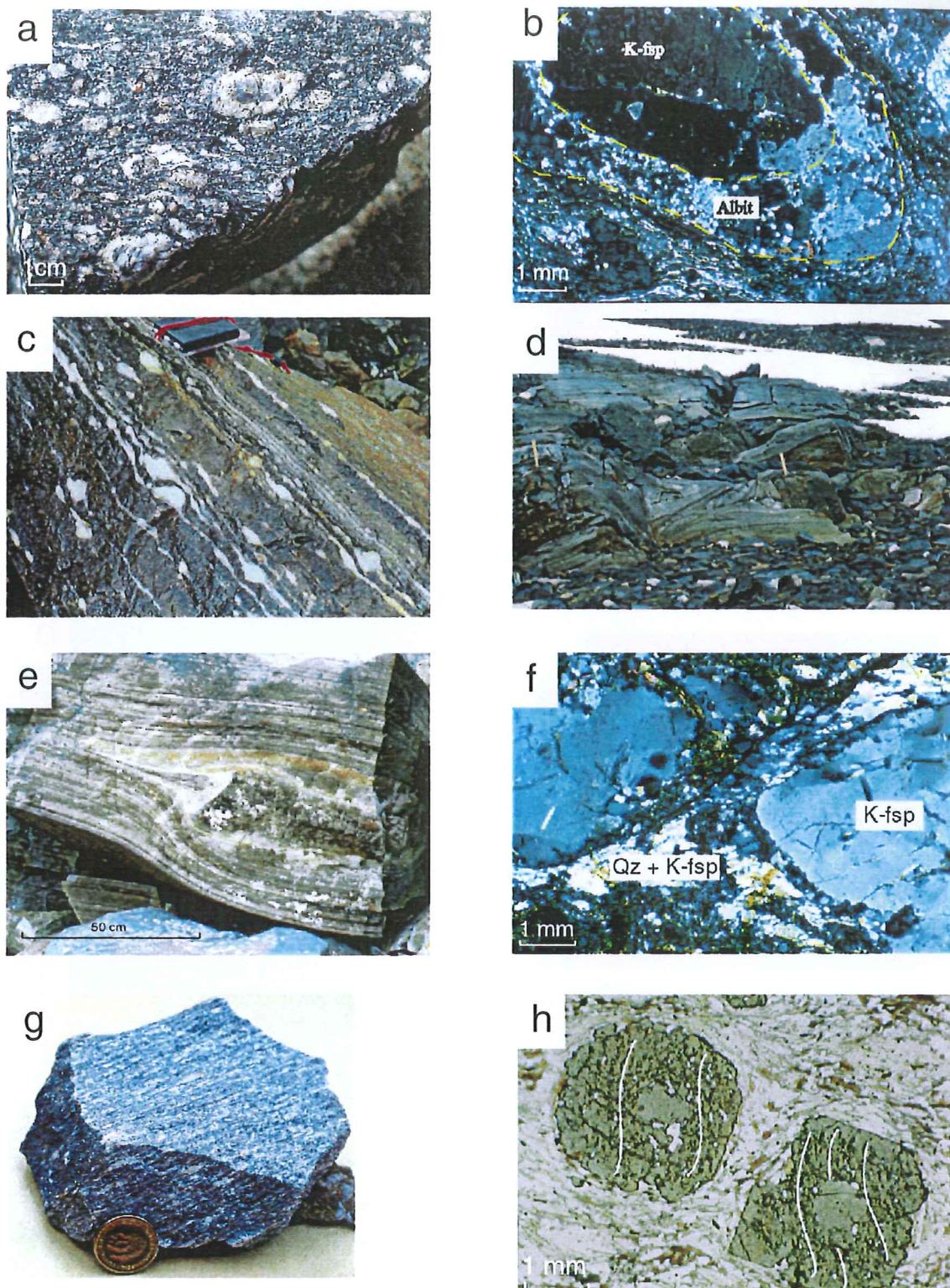
Vernon, R. H., 1986: K-feldspar megacrysts in granites - phenocrysts, not porphyroblasts. *Earth Science Reviews* 23, 1-63.

Vernon, R. H., 1990: K-feldspar augen in felsic gneisses and mylonites - deformed phenocrysts or porphyroclasts? *Geologiska Föreningens i Stockholm Förhandlingar* 112, 157-167.



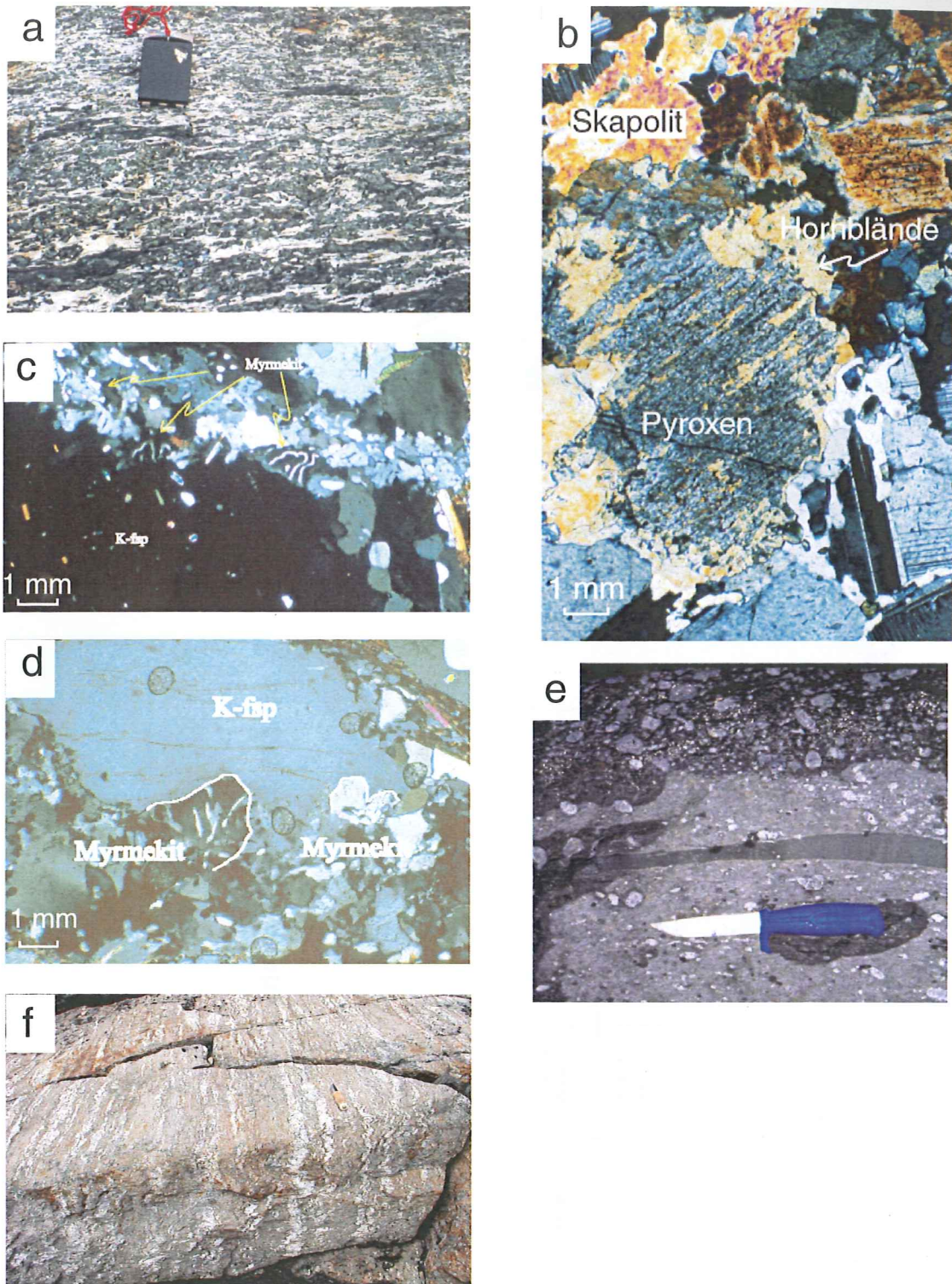
**BERGGRUNDSGEOLOGISK
KARTA ÖVER
MÅRMAOMråDET**





Plansch 1

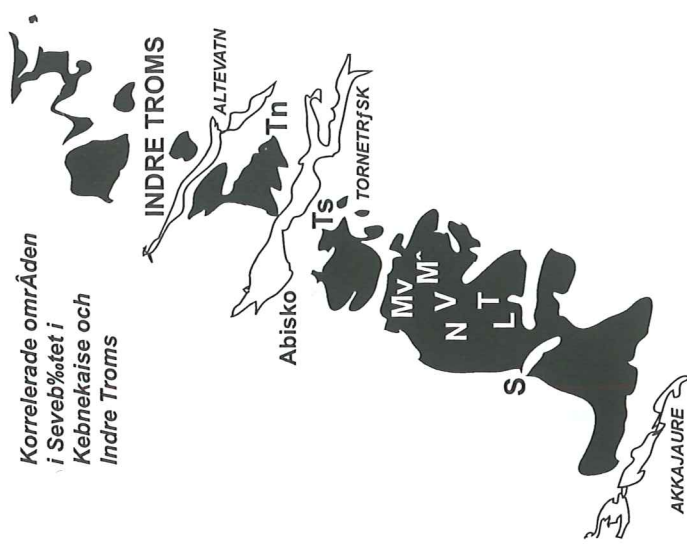
- a) Boginjiramylonit med karakteristiska K-fältspatsögon med Karlsbadtvillingar och mantlar.
- b) Fältspatskristallerna och tvillingarna är orienterade längs foliationsriktningen i Boginjiramyloniten, korsade nicoller.
- c) Generellt utseende på Storglaciäregnejs.
- d) Metabasitlinser i Storglaciäregnejs, hammarskaften är ca 40 cm.
- e) Boudiner av kalksilikatgnejs förekommer ställvis Storglaciäregnejsen.
- f) Undulöst utsläckande K-fältspatsmegakrister omgärdade av ett kvarts- och K-fältspatsrik matrix, korsade nicoller.
- g) Generellt utseende på Nallognejs.
- h) Pretektoniskt fabric i en granat från Nallognejsen, markerat av inneslutningar av rutil och opaka mineral, planpolariserat ljus.



Plansch 2

- Grovkornig typ av Kebne Gångkomplex med vita sliror av kvarts och fältspat.
- Magmatisk pyroxen som håller på att omvandlas till hornblände. Runt hornblände växer i sin tur skapolit. Korsade nicoller.
- Myrmekit förekommer längs K-fältspatskristallens långsida. Korsade nicoller.
- Myrmekit kan ses vandra in i K-fältspatskristallens långsida. Korsade nicoller.
- Metabasitbanden i Boginjiramyloniten representerar diabasgångar vilka intruderade i Vistasgraniten.
- Krenulationsveckad migmatitiseras Storglaciärengnejs. Kniven på bilden är ca 20 cm lång.

Tektonostratigrafisk tabell för undersökta områden i Nallo och Mårlma samt korrelation med angränsande områden



The geological map shows the coastline and major rivers of Northern Norway. Key locations labeled include: Tornetrask (Tn), Ts; Mårlma V (Mv); Nallo N; Tarfala (T); Ladjuvaggi (L); Singis (S); Abisko; Altevatn; Tornetrfsk; and Akka-Jaure. A legend at the top right indicates 'Korrelaterade områden i Sveriges del i Kebnekaise och Indre Troms'.

| Indre Troms | Tornetrask Tn, Ts | Mårlma V Mv | Mårlma Ö Vistas Mö, V | Nallo N | Tarfala Ladjuvaggi Singis T, L, S |
|---|-----------------------------|-------------------------|--------------------------------|------------------------|--|
| Köllberggrund | Köllberggrund | Köllberggrund | Värvans- gångskollan | Kebne Gångkomplex | Köllberggrund |
| Rohkunborri- skollans gångkomplex | | | Nallomejs | Kebne Gångkomplex | Kebne Gångkomplex |
| Örgongnejs med meta- basitinsar | Blastomylo- nitisk gnejs | | Storglaciären- gnejs | Nallomejs | Storglaciären- gnejs |
| Amfibolit | Amfibolit | Boganiira- myloniten | Höktopps- mylonit | | Tarfala-Aurek amfibolit |
| "Lower gneiss" | Lägre gnejs | | Mårlma magmatisk komplex | | Psammittisk gnejs |
| Mälerv- skollan | Abiskoskollan | Mellersta Allotkon | | Abiskoskollan | Psammittisk gnejs & metaddabas. |
| Lägre Allotkon | | Rautas- komplexet | | Leavasvagge- fyllit | Myloniter |
| Allotkon | Dividal- gruppen | | | Dividal- gruppen | Dividal- gruppen |

Källor:
1. Stölen (1994a). 2. Stölen (1994b). 3. Lindström (1985). 4. Lindström et al. (1987). 5. Kathol (1989). 6. Detta arbete. 7. Paulsson (1999). 8. Sandelin (1997). 9. Detta arbete. 10. Andreasson et al., manuskript. 11. Andreasson & Gee (1989). 12. Goerke (1993). 13. Nilsson (1992). 14. Page (1993). 15. Page (1997).

Tidigare skrifter i serien "Examensarbeten i Geologi vid Lunds Universitet":

86. Borgenlöv, Camilla, 1997: Vätskeinklusioner som ledtrådar till bildningsmiljön för Bölets manganmalm, Västergötland, södra Sverige.
87. Mårtensson, Thomas, 1997: En petrografisk och geokemisk undersökning av inneslutningar i Nordingrågraniten.
88. Gunnemyr, Lisa, 1997: Spårämnesförsök i konstgjort infiltrerat vatten - en geologisk och hydrogeologisk studie av Strömsholmsåsen, Hallstahammar, Västmanland.
89. Antonsson, Christina, 1997: Inventering, hydrogeologisk klassificering samt bedömning av hydrogeologisk påverkan av våtmarksområden i samband med järnvägstunnelbyggnation genom Hallandsåsen, NV Skåne.
90. Nordborg, Fredrik, 1997: Granens markpåverkan - en studie av markkemi, jordmånsbildning och lermineralogi i gran- och lövskogsbestånd i södra Småland.
91. Dobos, Felicia, 1997: Pollen-stratigraphic position of the last Baltic Ice Lake drainage.
92. Nilsson, Johan, 1997: The Brennvinsfjorden Group of southern Botniahalvøya, Nordaustlandet, Svalbard - structure, stratigraphy and depositional environment.
93. Tagesson, Esbjörn, 1998: Hydrogeologisk studie av grundvattnets kloridhalter på östra Listerlandet, Blekinge.
94. Eriksson, Saskia, 1998: Morängenetiska undersökningar i klintar vid Greifswalder Boddens södra kust, NÖ Tyskland.
95. Lindgren, Johan, 1998: Early Campanian mosasaurs (Reptilia; Mosasauridae) from the Kristianstad Basin, southern Sweden.
96. Ahnesjö, Jonas, B., 1998: Lower Ordovician conodonts from Köpings klint, central Öland, and the feeding apparatuses of *Oistodus lanceolatus* Pander and *Acodus deltatus* Lindström.
97. Rehnström, Emma, 1998: Tectonic stratigraphy and structural geology of the Ålkatj-Tielma massif, northern Swedish Caledonides.
98. Modin, Anna-Karin, 1998: Distributionen av kadmium i moränmark kring St. Olof, SÖ Skåne.
99. Stockfors, Martin, 1998: High-resolution methods for study of carbonate rock: a tool for correlating the sedimentary record.
100. Zillén, Lovisa, 1998: Late Holocene dune activity at Sandhammaren, southern Sweden -chronology and the role of climate, vegetation, and human impact.
101. Bernhard, Maria, 1998: En paleoekologisk -paleohydrologisk undersökning av våtmarks- komplexet Rolands hav, Blekinge.
102. Carlemalm, Gunnar, 1999: En glacialgeologisk studie av morän och moränfylda sprickor i underliggande sandursediment, Örsjö, Skåne.
103. Blomstrand, Malou, 1999: 1992-1998 Seismicity and Deformation at Mt. Eyjafallajökull volcano, South Iceland.
104. Dahlqvist, Peter, 1999: A Lower Silurian (Llandoveryan) halysitid fauna from the Berge Limestone Formation, Norderön, Jämtland, central Sweden.
105. Svensson, Magnus A., 1999: Phosphatized echinoderm remains from upper Lower Ordovician strata of northern Öland, Sweden - preservation, taxonomy and evolution.
106. Bengtsson, Anders, 1999: Trilobites and bradoriid arthropods from the Middle and Upper Cambrian at Gudhem in Västergötland, Sweden.
107. Persson, Christian, 1999: Silurian graptolites from Bohemia, Czech Republic.
108. Jacobson, Mattias, 1999: Five new cephalopod species from the Silurian of Gotland.
109. Augustsson, Carita, 1999: Lapillituff som bevis för underjurassisk vulkanism av strombolikaraktär i Skåne.
110. Jensen, Sigfinn J., 1999: En silurisk transgressiv karbonatlagerföljd vid S:t Olofholms stenbrott, Gotland.
111. Lund, Mats G., 1999: En strukturegeologisk modell för berggrunden i Sarvesvagge - Luottalahti-området, Sareks Nationalpark, Lappland.
112. Magnusson, Jakob, 1999: Exploration of submarine fans along the Coffee Soil Fault in the Danish Central Graben.
113. Wickström, Jenny, 1999: Conodont biostratigraphy in Volkovian sediments from the Mäekalda section, north-central Estonia.
114. Sjögren, Per, 1999: Utmarkens vegetationsutveckling vid Ire i Blekinge, från forntid till nutid - en pollenanalytisk studie.
115. Sälgeback, Jenny, 1999: Trace fossils from the Permian of western Dronning Maud Land, Antarctica.
116. Söderlund, Pia, 1999: Från gabbro till granatamfibolit. En studie av metamorfos i Åkermetabasiten väster om Protoginzonerna, Småland.
117. Jönsson, Karl-Magnus, 2000: Sedimentologiska och litostratigrafiska undersökningar i södra Malmös kvartära avlagringar, södra Sverige.
118. Romberg, Ewa, 2000: En sediment- och biostratigrafisk undersökning av den tidigare Littorina-lagunen vid Barsebäck, SV Skåne, med beskrivning av en Preboreal klimat-

- oscillation.
119. Bergman, Jonas, 2000: Skogshistoria i Söderåsens nationalpark. En pollenanalytisk studie i Söderåsens nationalpark, Skåne.
 120. Lindahl, Anna, 2000: En paleoekologisk och paleohydrologisk studie av fuktängar i Bräkneåns dalgång, Bräkne-Hoby, Blekinge.
 121. Enerothe, Erik, 2000: En paleomagnetisk detaljstudie av Sarekgångsvärmen.
 122. Terfelt, Fredrik, 2000: Upper Cambrian trilobite faunas and biostratigraphy at Kakeled on Kinnekulle, Västergötland, Sweden.
 123. Sundberg, Sven Birger, 2000: Vattenreningsgenom komplexbildning mellan järn och humusämnen - en litteraturstudie med försök.
 124. Sundberg, Sven Birger, 2000: Sedimentationsprocesser och avlagringsmiljö för en kantrygg kring platåleran vid Rydsgårds gods i backlandskapet söder om Romeleåsen, Skåne.
 125. Kjöllerström, Anders, 2000: En geokemisk studie av bergartsvariationen på Bullberget i västra Dalarna.
 126. Cinthio, Kajsa, 2000: Senglacial och tidig holocen etablering och expansion av lövträd på en lokal i nordvästra Rumänien.
 127. Lamme, Sara, 2000: Klimat- och miljöförändringar under holocen i Sylarnaområdet, södra svenska Skanderna, baserat på analys av makrofossil och klyvöppningar.
 128. Jönsson, Charlotte, 2000: Geologisk och hydrogeologisk modellering av området mellan Bjuv och Söderåsen, nordvästra Skåne.
 129. Kleman, Johan, 2001: Utvärdering av den underkambriska litostratigrafen på Österlen, södra Sverige.
 130. Sundler, Malin, 2001: En jämförande studie mellan uppmätt och MACRO-simulerad pesticidutlakning på ett odlingsfält i Skåne.
 131. Grönholm, Anna, 2001: Högtrycksmetabasiter i den södra delen av Mylonitzonen: fältgeologi, petrografi och metamorf utveckling.
 132. Ekdahl, Magnus, 2001: En studie av Källsjögranitens deformationsmönster och kinematiska indikatorer inom Ullaredszonen.
 133. Axheimer, Niklas, 2001: Middle Cambrian trilobites and biostratigraphy of the Almbacken drill core, Scania, Sweden.
 134. Lindén, Mattias, 2001: Proglacial deformation of glaciofluvial sediments during the Pomeranian deglaciation in the Neubrandenburg area, NE Germany.
 135. Warnag, Jon, 2001: A geochemical study of the zoned Pan-African Mon Repos intrusion, Central Namibia.
 136. Lundmark, Mattias, 2001: Zirkonstudie av Norra Hortens bergarter, SV Sverige.
 137. Gunnarson, Rebecka, 2001: Sedimentologisk undersökning av en moränskärning i en djupvittrad sprickdal på Romeleåsen, Skåne.
 138. Karlsson, Christine, 2001: Diagenetic and petrophysical properties of deeply versus moderately buried Cambrian sandstones of the Caledonian foreland, southern Sweden.
 139. Eriksson, Mårten, 2001: Bedömning av föroreningsspridning kring en nedlagd bensinstation i Karlaby, sydöstra Skåne.
 140. Ljung, Karl, 2001: A paleoecological study of the Pleistocene-Holocene transition in the Kap Farvel area, South Greenland.
 141. Åkesson, Cecilia, 2001: Undersökning av grundvattenförhållanden i området kring Östra Vemmerlöv, Simrishamns kommun, sydöstra Skåne.
 142. Bermin, Jonas, 2001: Modelling Mössbauer spectra of biotite.
 143. Mansurbeg, Howri, 2001: Modelling of reservoir quality in quartz-rich sandstones of the Lower Cretaceous Bentheim sandstones, Lower Saxony Basin, NW Germany.
 144. Hermansson, Tobias, 2001: Sierggavággeskollans strukturgeologiska utveckling; nyckeln till Sareks berggrundsgEOFologi.
 145. Veres, Daniel-Stefan, 2001: A comparative study between loss on ignition and total carbon analysis on Late Glacial sediments from Atteköps mosse, southwestern Sweden, and their tentative correlation with the GRIP event stratigraphy.
 146. Ahlberg, Tomas, 2001: Hydrogeologisk undersökning samt sårbarhetskartering av området kring tre bergborrade grundvattenanläggningar i Simrishamns kommun.
 147. Boman, Daniel, 2001: Tektonostratigrafi och deformationsrelaterad metamorfos i norra Kebnekaisefjällen, Skandinaviska Kaledoniderna.
 148. Olsson, Stefan, 2002: The geology of the Portobello Peninsula; proposal of a saturated to oversaturated lineage within the Dunedin Volcano, New Zealand.
 149. Molnos, Imre, 2002: Petrografi och diogenes i den underkambriska lagerföljden i Skrylle, Skåne.
 150. Malmborg, Pär, 2002: Correlation between diagenesis and sedimentary facies of the Bentheim Sandstone, the Schoonebeek field, The Netherlands.
 151. Jonsson, Henrik, 2002: Permeability variation in a tidal Jurassic deposit, Höganäs basin, Fennoscandian Border Zone
 152. Lundgren, Anders, 2002: Seveskollorna i nordöstra Kebnekaise, Kaledoniderna: metabasiter, graniter och ögongnejser.